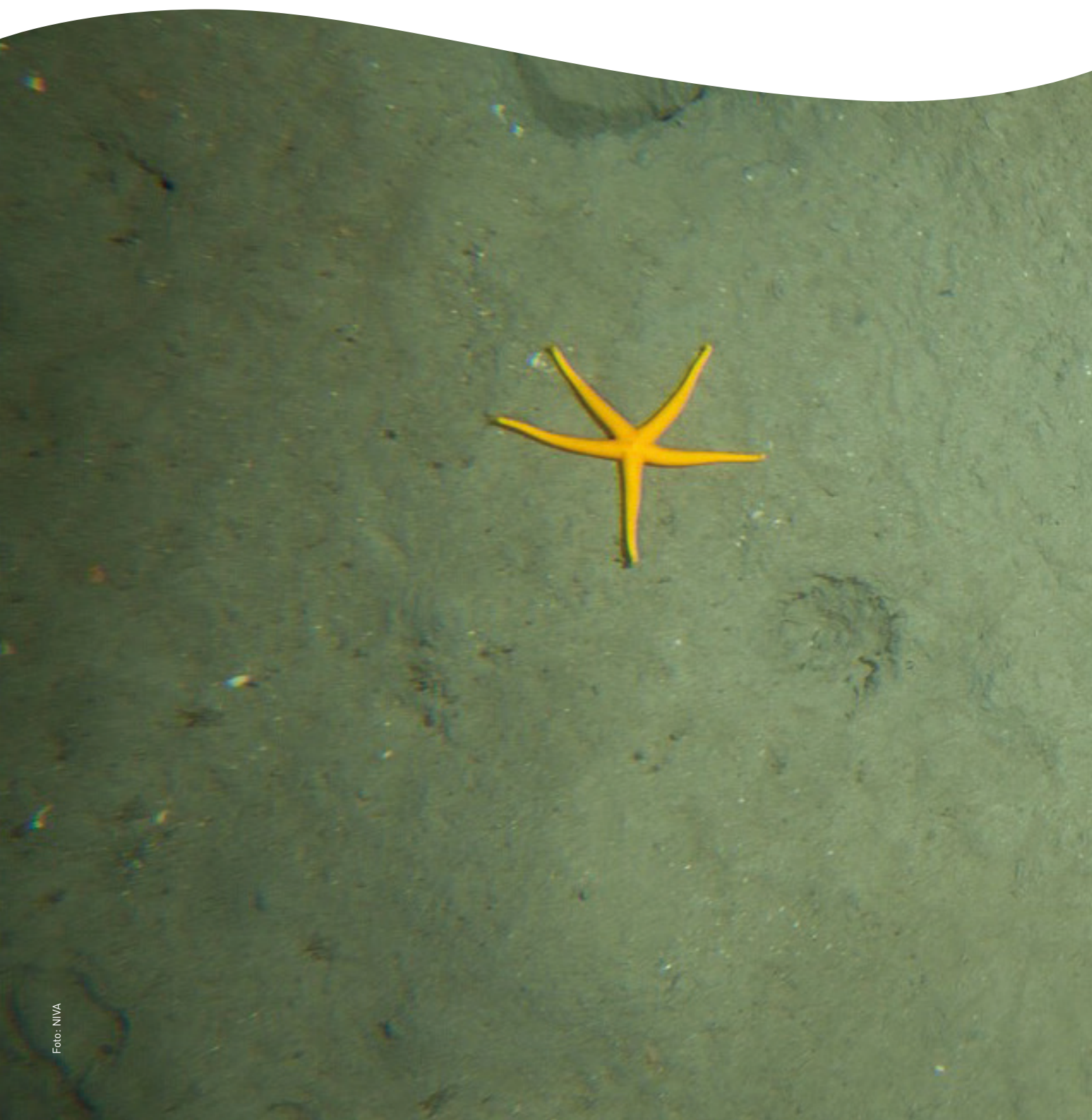


Uttesting av sensitivitetsindeksene ISI2018 og NSI2018, og en revidert artsliste med sensitivitetsverdier for bløtbunnsfauna



RAPPORT

| Hovedkontor | NIVA Region Sør | NIVA Region Innlandet | NIVA Region Vest | NIVA Danmark |
|---|--|---|---|---|
| Gaustadalléen 21 0349 Oslo Telefon (47) 22 18 51 00 | Jon Lilletuns vei 3 4879 Grimstad Telefon (47) 22 18 51 00 | Sandvikaveien 59 2312 Ottestad Telefon (47) 22 18 51 00 | Thormøhlensgate 53 D 5006 Bergen Telefon (47) 22 18 51 00 | Njalsgade 76, 4. sal 2300 København S, Danmark Telefon (45) 39 17 97 33 |

Internett: www.niva.no

| | | |
|--|--------------------------------|---------------------------|
| Tittel Uttesting av sensitivitetsindeksene ISI2018 og NSI2018, og en revidert artsliste med sensitivitetsverdier for bløtbunnsfauna | Løpenummer 7494-2020 | Dato 05.05.2020 |
| Forfatter(e) Gunhild Borgersen, Martin Hektoen (Åkerblå), Fredrik Melsom (DNV-GL), Christiane Todt (Rådgivende biologer) | Fagområde Overvåking | Distribusjon Fri |
| | Geografisk område Norge | Sider 25 + Vedlegg |

| | |
|--|---|
| Oppdragsgiver(e) Miljødirektoratet | Oppdragsreferanse Ingrid Handå Bysveen |
| Oppdragsgivers utgivelse: Miljødirektoratet rapport M-1696 2020 | Utgitt av NIVA Prosjektnummer 190199 |

| |
|--|
| Sammendrag I 2018 gjennomførte NIVA en revisjon av sensitivitetsindeksene Norwegian Sensitivity Index (NSI2012) og Indicator Species Index (ISI2012). Revisjonen omfattet beregning av nye sensitivitetsverdier for bløtbunnsartene, og nye grenseverdier for de reviderte sensitivitetsindeksene som ble kalt NSI2018 og ISI2018. NIVA har i samarbeid med tre andre laboratorier testet ut NSI2018 og ISI2018 ved å sammenligne tilstandsklassifiseringen for de reviderte indeksene med tilstandsklassifisering for de indeksene som benyttes i dag (NSI2012 og ISI2012). Denne rapporten beskriver resultatene og vurderinger av de reviderte indeksene, samt kommer med anbefalinger og retningslinjer for beregning av sensitivitetsindeksene. En revidert artsliste med sensitivitetsverdier for NSI2018 og ISI2018 presenteres. |
|--|

| | |
|---|--|
| Fire emneord 1. Bløtbunnsfauna 2. Indeks 3. Sensitivitetsverdier 4. Tilstandsklassifisering | Four keywords 1. Soft sediment fauna 2. Indices 3. Sensitivity values 4. Quality status classification |
|---|--|

Denne rapporten er kvalitetssikret iht. NIVAs kvalitetssystem og godkjent av:

Gunhild Borgersen
Prosjektleder

Mats Walday
Forskningsleder

ISBN 978-82-577-7229-1
NIVA-rapport ISSN 1894-7948

© Norsk institutt for vannforskning og Miljødirektoratet. Publikasjonen kan siteres fritt med kildeangivelse.

Uttegning av sensitivitetsindeksene ISI2018 og
NSI2018, og en revidert artsliste med
sensitivitetsverdier for bløtbunnsfauna

Forord

Sensitivitetsindeksene ISI og NSI er to indekser som inngår i økologisk tilstandsklassifisering av bløtbunnfauna. Bløtbunnsartenes sensitivitetsverdier ble revidert i Borgersen m.fl. (2019), hvor det også ble anbefalt at de reviderte sensitivitetsverdiene og sensitivitetsindeksene ISI2018 og NSI2018 testes ut før de tas i bruk.

I denne rapporten beskrives resultater og vurderinger fra uttestingen av de reviderte indeksene, og det presenteres en ny artsliste med sensitivitetsverdier for NSI2018 og ISI2018. Prosjektet er finansiert av Miljødirektoratet, og Ingrid Handå Bysveen har vært kontaktperson hos Miljødirektoratet. Martin Hektoen (Åkerblå), Fredrik Melsom (DNV-GL), Christiane Todt (Rådgivende biologer) har bidratt og takkes for godt samarbeid. Gunhild Borgersen har vært prosjektleder og hovedforfatter bak rapporten. Mats Walday og Hilde Trannum har kvalitetssikret rapporten.

Oslo, 16.4.2020

Gunhild Borgersen

Innholdsfortegnelse

| | | |
|----------|--|-----------|
| 1 | Bakgrunn for oppdraget | 7 |
| 2 | Metode | 8 |
| 3 | Resultater..... | 9 |
| 3.1 | Sammenligning av tilstandsklassifisering..... | 9 |
| 3.1.1 | Klassifisering av stasjoner fra hele Norge..... | 9 |
| 3.1.2 | Enkeltstudier fra C-undersøkelser (oppdrettslokaliteter) | 17 |
| 3.2 | Oppsummering av resultatene | 20 |
| 4 | Konklusjon | 22 |
| 5 | Anbefalinger og retningslinjer | 22 |
| 6 | Referanser..... | 25 |

Sammendrag

I 2018 gjennomførte NIVA en revisjon av sensitivitetsindeksene Norwegian Sensitivity Index (NSI2012) og Indicator Species Index (ISI2012). Revisjonen omfattet beregning av nye sensitivitetsverdier for bløtbunnsartene, og nye grenseverdier for de reviderte sensitivitetsindeksene som ble kalt NSI2018 og ISI2018. NIVA har i samarbeid med tre andre laboratorier testet ut NSI2018 og ISI2018 ved å sammenligne tilstandsklassifiseringen for de reviderte indeksene med tilstandsklassifisering for de indeksene som benyttes i dag (NSI2012 og ISI2012).

De reviderte indeksene NSI2018 og ISI2018 var generelt noe «stengrere» enn NSI2012 og ISI2012. De klassifiserte færre stasjoner til *god* og *svært god* tilstand i alle økoregioner med unntak av NSI i Nordsjøen Sør og Nordsjøen Nord. Forskjellene var størst for NSI i Norskehavet Nord og Barentshavet, og for ISI i Nordsjøen Nord og Norskehavet sør.

Totalt ga ISI2012 og ISI2018 lik klassifisering for 58,4 % av stasjonene, og NSI2012 og NSI2018 ga lik klassifisering for 70,9 % av stasjonene. ISI2018 ga dårligere tilstandsklasse enn ISI2012 for 36,7 % av stasjonene, og bedre tilstandsklasse for 4,9 % av stasjonene. For NSI var andelen som klassifiserte bedre og dårligere omtrent lik mellom 2018- og 2012-versjonen. Over 90 % av stasjonene fikk samme tilstandsklasse eller kun avvik på én tilstandsklasse for 2012- og 2018-versjonene av begge indeksene.

NIVA mener resultatene viser at det er grunnlag for å anbefale at de reviderte sensitivitetsverdiene og indeksene med tilhørende grenseverdier bør erstatter de eksisterende (dvs. ISI2018 og NSI2018 erstatter hhv. ISI2012 og NSI2012). Det er grunn til å tro at de reviderte sensitivitetsindeksene gir et mer presist mål på den generelle sensitiviteten (eller toleransen) til artene man finner i en prøve siden flere arter har fått beregnet en sensitivitetsverdi og dermed inngår i indeksberegringene.

Summary

Title: Testing of the sensitivity indices ISI2018 and NSI2018, and a revised species list with sensitivity values for soft sediment fauna

Year: 2019

Author(s): Gunhild Borgersen, Martin Hektoen (Åkerblå), Fredrik Melsom (DNV-GL), Christiane Todt (Rådgivende biologer)

Source: Norwegian Institute for Water Research, ISBN 978-82-577-7229-1

In 2018, NIVA conducted a revision of the sensitivity indices Norwegian Sensitivity Index (NSI) and Indicator Species Index (ISI2012). The audit included calculation of new sensitivity values for the soft bottom species, and new class boundaries for the revised sensitivity indices, which were named NSI2018 and ISI2018. NIVA has, in collaboration with three other laboratories, tested out NSI2018 and ISI2018 by comparing the quality status classification of the revised indices with the classification of the indices used today (NSI2012 and ISI2012).

The revised indices NSI2018 and ISI2018 classified fewer stations to *good* and *very good* status in all ecoregions except for NSI in the North Sea South and the North Sea North. The differences were greatest for NSI in the Norwegian Sea North and the Barents Sea, and for ISI in the North Sea North and the Norwegian Sea South.

In total, ISI2012 and ISI2018 classified 58.4% of the stations to identical status class, and NSI2012 and NSI2018 classified 70.9% of the stations to identical status class. ISI2018 classified 36.7% of the stations to a poorer status class compared to ISI2012, and 4.9% of the stations to a better status class. For NSI, the proportion of stations that classified better and poorer was approximately identical between the 2018 and 2012 versions. Over 90% of the stations was classified to the same status class or only deviated by one status class for the 2012 and 2018 versions of both indices.

NIVA recommends that the revised sensitivity values and indices with associated status class boundaries should replace the existing ones (i.e. ISI2018 and NSI2018 replace respectively ISI2012 and NSI2012). The results indicate that the revised sensitivity indices provide a more accurate measure of the overall sensitivity (or tolerance) of the species assemblage found in a sample since more species have an associated sensitivity value.

1 Bakgrunn for oppdraget

Vannforskriften gjennomfører EUs vanndirektiv i norsk rett, med formål å sikre en helhetlig og økosystembasert vannforvaltning i Norge. Med utgangspunkt i vannforskriftens krav og føringer er det utarbeidet en rekke nasjonale veiledere som beskriver hvordan overvåking av vann skal gjennomføres i Norge. En slik veileder er Klassifiseringsveileder 02:2018 som beskriver hvordan tilstanden skal vurderes og angir grenseverdier (også kalt klassegrenser) for en rekke biologiske kvalitetselementer som indikerer i hvilken miljøtilstand en vannforekomst befinner seg. De biologiske kvalitetselementene som benyttes for tilstandsklassifisering av marine vannforekomster er makroalger, planteplankton, ålegress og bløtbunnsfauna.

Bløtbunnsfauna har lenge vært brukt i overvåking for å vurdere tilstand, og hadde allerede på 1990-tallet grenseverdier for to diversitetsindeks (Rygg og Thélín 1993, Molvær 1997). Senere ble det også utviklet indeks med utgangspunkt i at artene har ulik toleranse og sensitivitet for forstyrrelser, som Indicator Species Index (ISI, Rygg 2002; ISI2012, Rygg og Norling 2013), Norwegian Quality Index (NQI1 og NQI2, Rygg 2006) og Norwegian Sensitivity Index (NSI, Rygg og Norling 2013). Per i dag er det fem indeks som benyttes for økologisk tilstandsklassifisering av bløtbunnsfauna i Norge: de to diversitetsindeksene Shannons indeks H' (Shannon & Weaver 1963) og Hurlberts indeks ES100 (Hurlbert 1971), de to sensitivitetsindeksene ISI2012 og NSI (Rygg og Norling 2013) og den sammensatte indeksen NQI1 (kombinerer artsdiversitet og sensitivitet, Rygg 2006). Tilstanden for bløtbunnsfauna klassifiseres ut fra indeksene etter vannforskriftens system med fem tilstandsklasser fra *svært god* (klasse I) til *svært dårlig* tilstand (klasse V). Klassegrensene er differensiert mellom ulike økoregioner og vanntyper.

I 2018 gjennomførte NIVA en revisjon av de to sensitivitetsindeksene NSI og ISI2012 (Borgersen m.fl. 2019). Sensitivitetsverdiene for norske arter av bløtbunnsfauna som inngår i beregningen av de to indeksene ble oppdatert på grunnlag av et større og bedre geografisk dekket datasett sammenlignet med forrige revisjon i 2012 (Rygg og Norling 2013). Resultatet var en artsliste med 588 taksa med reviderte sensitivitetsverdier. På grunnlag av de reviderte sensitivitetsverdiene ble ISI2018 og NSI2018 beregnet, og nye naturtilstandsverdier for indeksene ble predikert. Grenseverdiene for tilstandsklassifisering ble justert på grunnlag av de predikerte naturtilstandsverdiene (Borgersen m.fl. 2019).

Videre ble det anbefalt i Borgersen m.fl. (2019) å teste ut de reviderte indeksene og tilhørende grenseverdier før de blir tatt i bruk, for å se hvordan endringene slår ut på tilstandsklassifiseringen av stasjoner som inngår i miljøovervåking. Denne rapporten beskriver resultater og vurderinger av de reviderte indeksene, samt kommer med anbefalinger og retningslinjer for beregning av sensitivitetsindeksene. En revidert artsliste med sensitivitetsverdier for NSI2018 og ISI2018 presenteres.

2 Metode

NIVA har testet ut de reviderte indeksene på det samme datasettet som ble samlet inn for å oppdatere sensitivitetsverdiene i 2018 (se Borgersen m.fl. 2019 for detaljer). Datasettet besto av over 4000 stasjoner, som alle har tilknyttet indeksverdier for både NSI/ISI2012 og NSI2018/ISI2018. Alle stasjoner fikk angitt en tilstandsklasse etter både eksisterende og reviderte indeks og grenseverdier, slik at man kan sammenligne hvordan de reviderte indeksene slår ut på klassifiseringen sammenlignet med de som benyttes i dag. NSI vil i det følgende bli omtalt som NSI2012, for lettere å skille mellom NSI fra 2012 og fra 2018.

De reviderte indeksene har blitt testet ut på det samme datasettet som ble benyttet for å oppdatere sensitivitetsverdiene og beregne nye grenseverdier. Det ideelle hadde vært å teste indeksene på et annet datasett enn det som ble benyttet ved revisjonen. Dette var ikke mulig da nesten alle tilgjengelige data ble samlet til datasettet som ble benyttet til revisjon. Dersom testen skulle vært gjennomført på et annet datasett ville dette datasettet blitt svært lite og testen dermed mindre robust.

Tre andre laboratorier (Rådgivende biologer, Åkerblå og DNV-GL) har beregnet både NSI2012/ISI2012 og NSI2018/ISI2018 på egne, relevante datasett, og sammenlignet tilstandsklassene som de ulike indeksene gir.

3 Resultater

3.1 Sammenligning av tilstandsklassifisering

3.1.1 Klassifisering av stasjoner fra hele Norge

Totalt 3174 unike stasjonsbesøk ble klassifisert fra de seks økoregionene (Tabell 1). Omtrent 40 % av stasjonene lå i økoregion Norskehavet sør, mens kun 5 % av stasjonene lå i økoregion Barentshavet. Litt over 40 % av stasjonene var i vannforekomster med vanntype 3 (beskyttet kyst/fjord), mens kun 2 % av stasjonene lå i vannforekomster med vanntype 5 (sterkt ferskvannspåvirket fjord).

Tabell 1. Antall unike stasjonsbesøk per økoregion og vanntype. Åpen=Åpen eksponert kyst, Moderat=Moderat eksponert kyst/fjord, Beskyttet=Beskyttet kyst/fjord, Fvp=Ferskvannspåvirket fjord, SterktFvp=Sterkt ferskvannspåvirket fjord.

| Vanntype | 1_Skagerrak | 2_Nord-sjøen Sør | 3_Nord-sjøen Nord | 4_Norskehavet Sør | 5_Norskehavet Nord | 6_Barentshavet | Total |
|--------------------|-------------|------------------|-------------------|-------------------|--------------------|----------------|-------|
| 1_Apen | 201 | 74 | 53 | 257 | 6 | 3 | 594 |
| 2_Moderat | 85 | 60 | 110 | 422 | 64 | 47 | 788 |
| 3_Beskyttet | 166 | 160 | 277 | 460 | 165 | 111 | 1339 |
| 4_Fvp | | 47 | 136 | 186 | 12 | 6 | 387 |
| 5_SterktFvp | 57 | 9 | | | | | 66 |
| Total | 509 | 350 | 576 | 1325 | 247 | 167 | 3174 |

NSI2018 og ISI2018 ble beregnet for hver grabbprøve på grunnlag av de reviderte sensitivitetsverdiene fra Borgersen m.fl. (2018). NSI2012 og ISI2012 ble beregnet for hver grabbprøve på grunnlag av sensitivitetsverdiene fra Rygg og Norling (2013). Stasjonenes indeksverdier ble så beregnet på bakgrunn av gjennomsnittet av grabbprøvenes indeksverdier for hvert stasjon. For stasjoner som hadde blitt prøvetatt flere ganger, ble indeksene beregnet separat for hver prøvetaking (dvs. for hvert stasjonsbesøk). Hvert stasjonsbesøk ble klassifisert etter grenseverdiene for NSI2018/ISI2018 som er angitt i Borgersen m.fl. (2018), mens ISI2012/NSI2012 ble klassifisert etter grenseverdiene fra Veileder 02:2018 (Tabell 2).

Tabell 2. Grenseverdier for tilstandsklassifisering av ISI2012/NSI2012 og ISI2018/NSI2018.
 Grenseverdiene for ISI2018/NSI2018 er hentet fra Borgersen m.fl. (2018). Grenseverdiene for ISI2012/NSI2012 er fra Veileder 02:2018

| Indeks | S 1-3, N 1-2, M 1-2 | | | | | | | | | | | | | | |
|---------|---------------------|---|-----|-----|---------|-----|--------|---|--------------|-----|---|-----|-----|---|---|
| | Svært god | | God | | Moderat | | Dårlig | | Svært dårlig | | | | | | |
| ISI2012 | 13,2 | - | 8,5 | 8,5 | - | 7,6 | 7,6 | - | 6,3 | 6,3 | - | 4,6 | 4,6 | - | 0 |
| NSI2012 | 30 | - | 25 | 25 | - | 20 | 20 | - | 15 | 15 | - | 10 | 10 | - | 0 |
| ISI2018 | 9,8 | - | 6,3 | 6,3 | - | 5,7 | 5,7 | - | 4,7 | 4,7 | - | 3,4 | 3,4 | - | 0 |
| NSI2018 | 34 | - | 28 | 28 | - | 22 | 22 | - | 17 | 17 | - | 11 | 11 | - | 0 |
| Indeks | 55 | | | | | | | | | | | | | | |
| | Svært god | | God | | Moderat | | Dårlig | | Svært dårlig | | | | | | |
| ISI2012 | 11,8 | - | 7,6 | 7,6 | - | 6,8 | 6,8 | - | 5,6 | 5,6 | - | 4,1 | 4,1 | - | 0 |
| NSI2012 | 30 | - | 25 | 25 | - | 20 | 20 | - | 15 | 15 | - | 10 | 10 | - | 0 |
| ISI2018 | 8,29 | - | 5,3 | 5,3 | - | 4,8 | 4,8 | - | 3,9 | 3,9 | - | 2,9 | 2,9 | - | 0 |
| NSI2018 | 34,7 | - | 29 | 29 | - | 23 | 23 | - | 17 | 17 | - | 12 | 12 | - | 0 |
| Indeks | N 3-5, M 3-5 | | | | | | | | | | | | | | |
| | Svært god | | God | | Moderat | | Dårlig | | Svært dårlig | | | | | | |
| ISI2012 | 13,1 | - | 8,5 | 8,5 | - | 7,6 | 7,6 | - | 6,3 | 6,3 | - | 4,5 | 4,5 | - | 0 |
| NSI2012 | 29 | - | 24 | 24 | - | 19 | 19 | - | 14 | 14 | - | 10 | 10 | - | 0 |
| ISI2018 | 9,7 | - | 6,3 | 6,3 | - | 5,6 | 5,6 | - | 4,7 | 4,7 | - | 3,3 | 3,3 | - | 0 |
| NSI2018 | 33 | - | 28 | 28 | - | 22 | 22 | - | 16 | 16 | - | 11 | 11 | - | 0 |
| Indeks | H 1-5, G 1-5 | | | | | | | | | | | | | | |
| | Svært god | | God | | Moderat | | Dårlig | | Svært dårlig | | | | | | |
| ISI2012 | 13,4 | - | 8,7 | 8,7 | - | 7,8 | 7,8 | - | 6,4 | 6,4 | - | 4,7 | 4,7 | - | 0 |
| NSI2012 | 30 | - | 25 | 25 | - | 20 | 20 | - | 15 | 15 | - | 10 | 10 | - | 0 |
| ISI2018 | 10,2 | - | 6,6 | 6,6 | - | 6 | 6 | - | 4,9 | 4,9 | - | 3,6 | 3,6 | - | 0 |
| NSI2018 | 34 | - | 29 | 29 | - | 23 | 23 | - | 17 | 17 | - | 11 | 11 | - | 0 |
| Indeks | B 1-5 | | | | | | | | | | | | | | |
| | Svært god | | God | | Moderat | | Dårlig | | Svært dårlig | | | | | | |
| ISI2012 | 13,5 | - | 8,7 | 8,7 | - | 7,8 | 7,8 | - | 6,5 | 6,5 | - | 4,7 | 4,7 | - | 0 |
| NSI2012 | 30 | - | 25 | 25 | - | 20 | 20 | - | 15 | 15 | - | 10 | 10 | - | 0 |
| ISI2018 | 10,2 | - | 6,6 | 6,6 | - | 5,9 | 5,9 | - | 4,9 | 4,9 | - | 3,6 | 3,6 | - | 0 |
| NSI2018 | 34 | - | 28 | 28 | - | 23 | 23 | - | 17 | 17 | - | 11 | 11 | - | 0 |

Resultatene av tilstandsklassifiseringene for de seks økoregionene er vist i Figur 1. ISI-indekseren (både 2012 og 2018) klassifiserer en høyere andel stasjoner til *svært god* tilstand sammenlignet med NSI-indekseren (både 2012 og 2018) i alle økoregioner. Det er derimot en lavere andel stasjoner som klassifiseres til *god* tilstand for ISI sammenlignet med NSI. Dette tyder på at mange av stasjonene som får *god* tilstand for NSI, får *svært god* tilstand for ISI. Dette har vært kjent i fagmiljøene lenge og kommer ofte tydelig frem i rapporter som viser tilstandsklassifisering av bløtbunnsfauna, hvor ISI ofte får *svært god* tilstand mens NSI og de øvrige indeksene får *god* tilstand (for eksempel rapporten fra Økokyst Skagerrak - Fagerli m.fl. 2019). Dette skyldes nok i hovedsak at ISI-indekseren ikke tar hensyn til antall individer av hver art når den beregnes, kun hvorvidt arten er til stede eller ikke. Et høyt antall tolerante eller opportunistiske arter i prøven vil derfor ikke påvirke indeksverdien like mye som for de øvrige indeksene.

Andelen av stasjoner som blir klassifisert til *svært god* eller *god* tilstand, og *moderat, dårlig* eller *svært dårlig* tilstand (altså andelen henholdsvis over og under grenseverdien mellom *god* og *moderat*), er viktig siden grensen mellom *god* og *moderat* er avgjørende mht. tiltak for vannforekomstene. Her er ikke forskjellen mellom ISI og NSI like systematiske, og varierer noe mer mellom økoregioner og mellom 2012- og 2018-versjonene av indeksene. Generelt er 2018-indeksene «strengere», dvs. de klassifiserer færre stasjoner til *god* og *svært god* tilstand i alle økoregioner med unntak av NSI i Nordsjøen Sør og Nordsjøen Nord (Figur 1). Forskjellene ser ut til å være størst for NSI i Norskehavet Nord og Barentshavet, og for ISI i Nordsjøen Nord og Norskehavet sør.

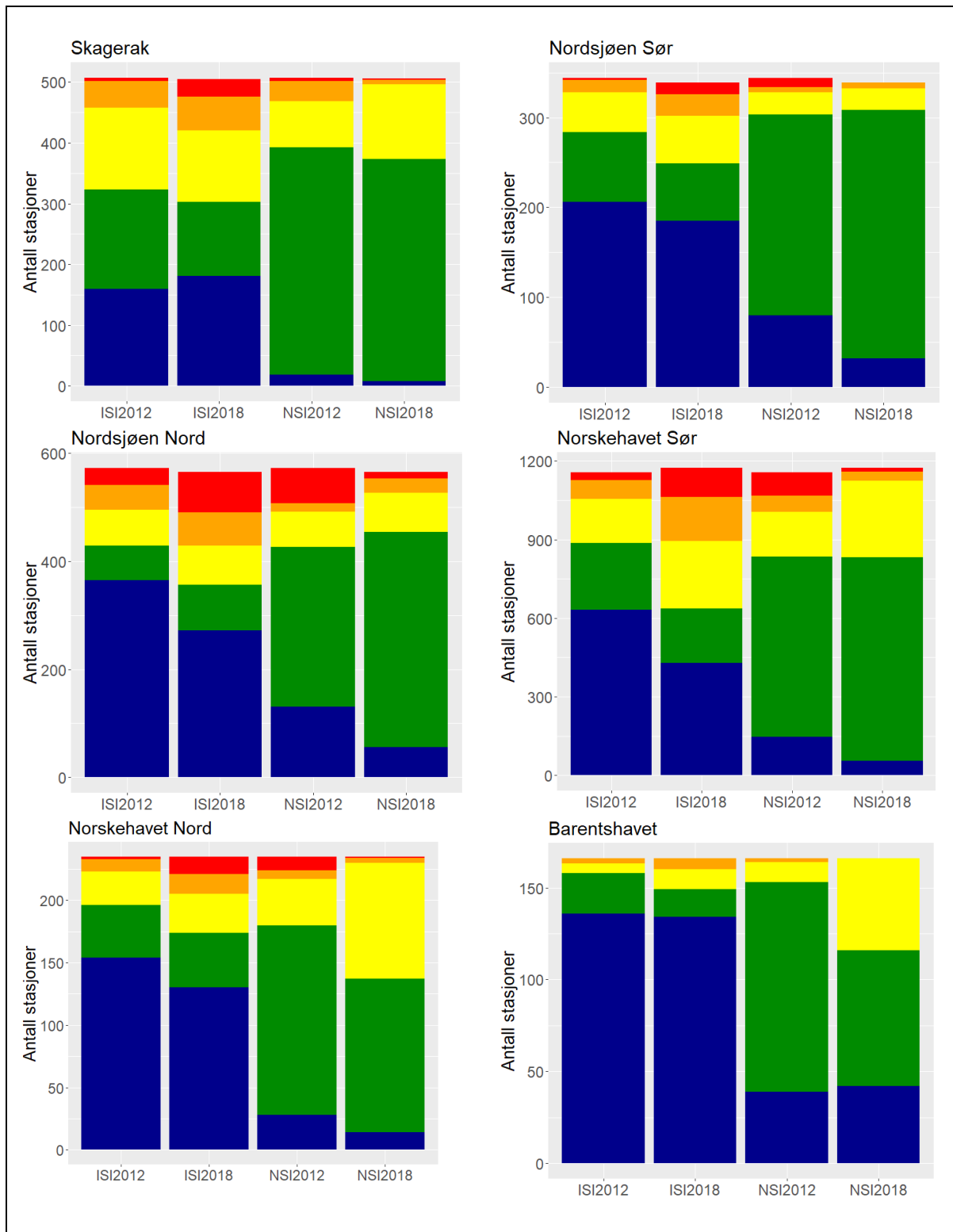
Et annet generelt trekk for både ISI og NSI er at 2018-versjonen klassifiserer en lavere andel stasjoner til *svært god* tilstand i økoregionene Nordsjøen sør, Nordsjøen nord, Norskehavet sør og Norskehavet nord sammenlignet med 2012-versjonen (Figur 1). For ISI er andelen stasjoner som blir klassifisert til *god* tilstand i hovedsak lik fra 2012 til 2018 i alle økoregioner. For NSI er andelen stasjoner som klassifiseres til *god* tilstand noe høyere for 2018 sammenlignet med 2012 i Nordsjøen sør, Nordsjøen nord og Norskehavet sør. ISI2018 klassifiserer flere stasjoner til *svært dårlig* tilstand sammenlignet med ISI2012, mens trenden for NSI er motsatt. I økoregion Barentshavet blir ingen stasjoner klassifisert til *svært dårlig* tilstand for noen av indeksene.

Forskjellene mellom 2012- og 2018-versjonene av indeksene er minst i økoregionene Skagerak og Barentshavet. Den største forskjellen i disse to økoregionene finner vi for NSI, som klassifiserer færre stasjoner til *god* tilstand og flere stasjoner til *moderat* tilstand med 2018-versjonen sammenlignet med 2012.

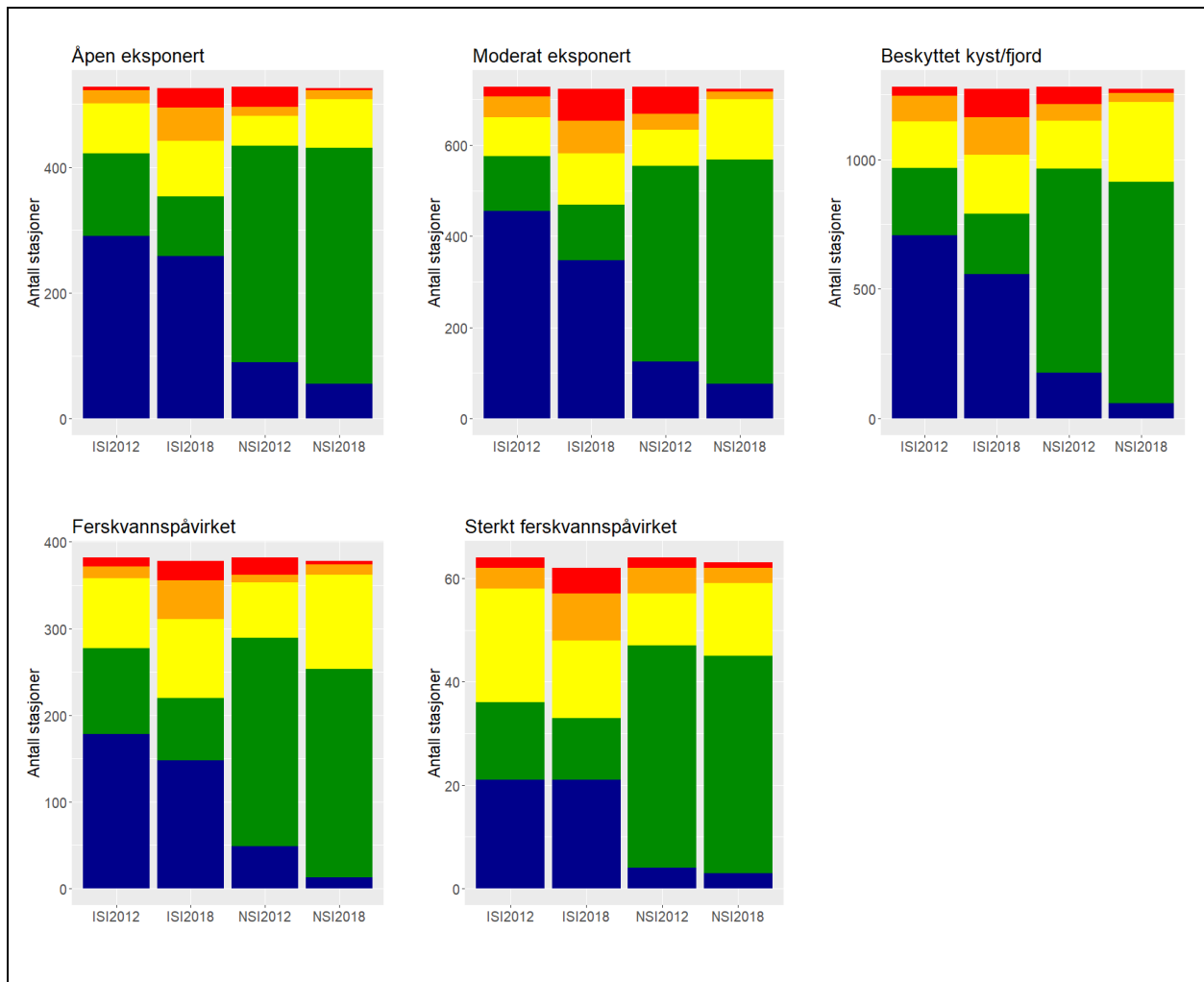
Andelen av stasjoner som blir klassifisert til de ulike tilstandsklassene per vanntype er vist i Figur 2. For ISI er forskjellen mellom 2012 og 2018 størst for vanntype 2 og 3 (Moderat eksponert kyst/fjord og Beskyttet kyst/fjord) med en lavere andel stasjoner i *svært god* tilstand og en høyere andel stasjoner i *svært dårlig* tilstand for 2012-indekseren. I disse to vanntypene har NSI2018 lavere andel av stasjoner i både *svært dårlig* og *svært god* tilstand, og en høyere andel i *moderat* og *god* tilstand.

Andelen av stasjoner som blir klassifisert til de ulike tilstandsklassene per vanntype i hver økoregion er vist i Figur 3,

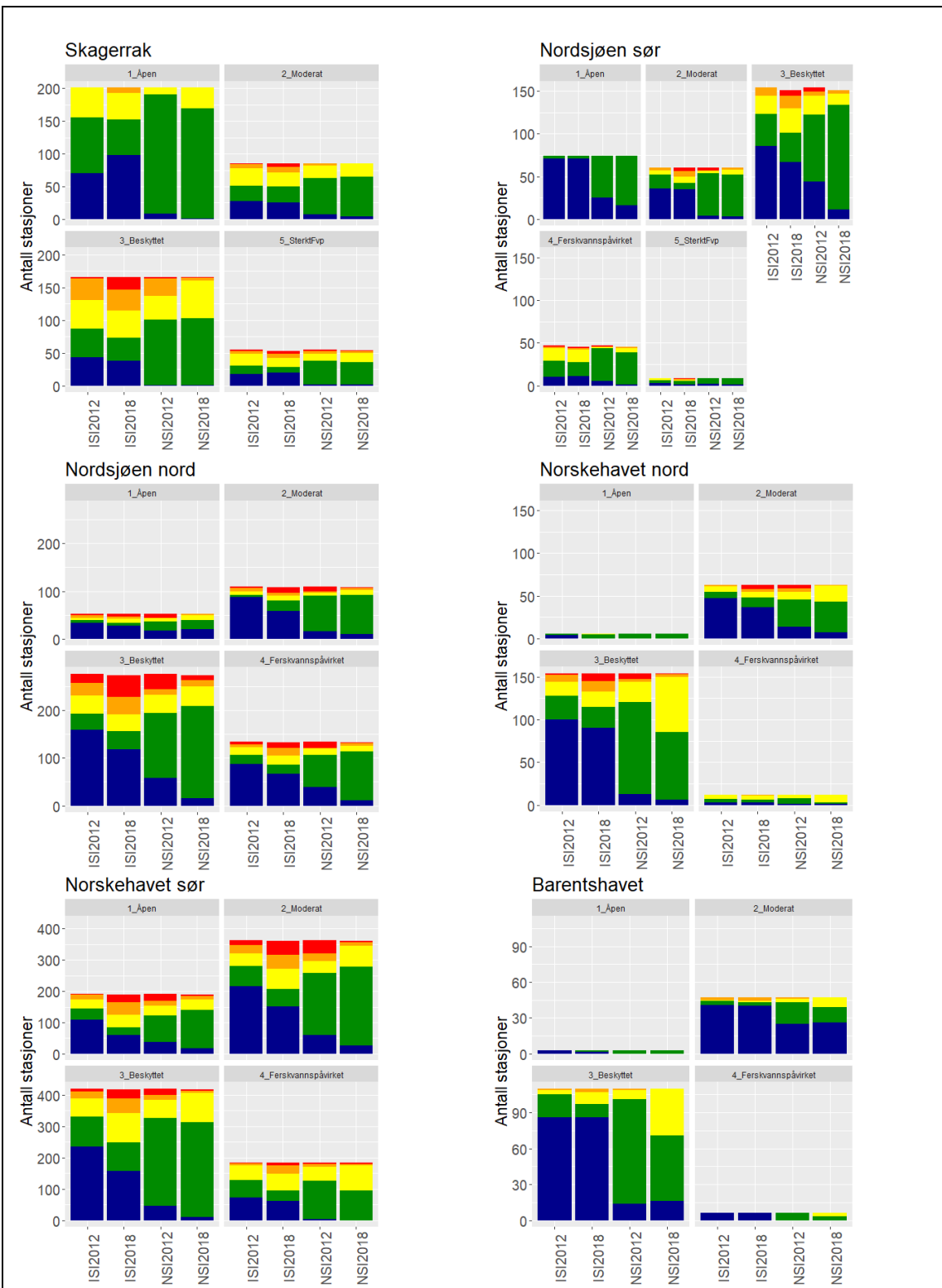
Tabell 3 og Tabell 4.



Figur 1. Andelen av stasjoner som blir klassifisert til svært god (blå), god (grønn), moderat (gul), dårlig (oransje) og svært dårlig (rød) tilstand for ISI2012/NSI2012 og ISI2018/NSI2018 i de seks økoregionene.



Figur 2. Andelen av stasjoner som blir klassifisert til svært god (blå), god (grønn), moderat (gul), dårlig (oransje) og svært dårlig (rød) tilstand for ISI2012/NSI2012 og ISI2018/NSI2018 i de fem vanntypene.



Figur 3. Andelen av stasjoner som blir klassifisert til svært god (blå), god (grønn), moderat (gul), dårlig (oransje) og svært dårlig (rød) tilstand for ISI2012/NSI2012 og ISI2018/NSI2018 i de ulike vanntypene og økoregionene

Tabell 3. Prosentmessig fordeling av stasjoner i de ulike tilstandsklassene i hver vanntype og økoregion for ISI2012 og ISI2018. Åpen=Åpen eksponert kyst, Moderat=Moderat eksponert kyst/fjord, Beskyttet=Beskyttet kyst/fjord, Fvp=Ferskvannspåvirket fjord, SterktFvp=Sterkt ferskvannspåvirket fjord.

| | | 1_Apen | | 2_Moderat | | 3_Beskyttet | | 4_Fvp | | 5_SterktFvp | |
|--------------------|--------------|---------|---------|-----------|---------|-------------|---------|-----------------|---------|-------------|---------|
| | | ISI2012 | ISI2018 | ISI2012 | ISI2018 | ISI2012 | ISI2018 | ISI2012 | ISI2018 | ISI2012 | ISI2018 |
| 1_Skagerak | Svært dårlig | 0 % | 0 % | 1 % | 6 % | 2 % | 12 % | | | 4 % | 8 % |
| | Dårlig | 0 % | 4 % | 7 % | 11 % | 20 % | 19 % | | | 7 % | 13 % |
| | Moderat | 23 % | 20 % | 32 % | 25 % | 26 % | 25 % | | | 35 % | 26 % |
| | God | 42 % | 27 % | 27 % | 29 % | 27 % | 21 % | | | 22 % | 15 % |
| | Svært god | 35 % | 49 % | 33 % | 29 % | 26 % | 23 % | | | 33 % | 38 % |
| 2_Nordsjøen Sør | | 1_Apen | | 2_Moderat | | 3_Beskyttet | | Ferskvannspåvir | | 5_SterktFvp | |
| | Svært dårlig | ISI2012 | ISI2018 | ISI2012 | ISI2018 | ISI2012 | ISI2018 | ISI2012 | ISI2018 | ISI2012 | ISI2018 |
| | Dårlig | 0 % | 0 % | 0 % | 7 % | 0 % | 5 % | 4 % | 2 % | 0 % | 11 % |
| | Moderat | 0 % | 0 % | 8 % | 13 % | 14 % | 19 % | 32 % | 33 % | 33 % | 11 % |
| | God | 4 % | 4 % | 27 % | 12 % | 24 % | 23 % | 40 % | 36 % | 33 % | 44 % |
| 3_Nordsjøen Nord | | 1_Apen | | 2_Moderat | | 3_Beskyttet | | 4_Fvp | | 5_SterktFvp | |
| | Svært dårlig | ISI2012 | ISI2018 | ISI2012 | ISI2018 | ISI2012 | ISI2018 | ISI2012 | ISI2018 | ISI2012 | ISI2018 |
| | Dårlig | 6 % | 11 % | 4 % | 10 % | 7 % | 17 % | 4 % | 9 % | | |
| | Moderat | 11 % | 9 % | 5 % | 6 % | 10 % | 13 % | 4 % | 11 % | | |
| | God | 9 % | 15 % | 7 % | 10 % | 14 % | 13 % | 12 % | 14 % | | |
| 4_Norskehavet Sør | | 1_Apen | | 2_Moderat | | 3_Beskyttet | | 4_Fvp | | 5_SterktFvp | |
| | Svært dårlig | ISI2012 | ISI2018 | ISI2012 | ISI2018 | ISI2012 | ISI2018 | ISI2012 | ISI2018 | ISI2012 | ISI2018 |
| | Dårlig | 1 % | 13 % | 4 % | 13 % | 2 % | 7 % | 1 % | 5 % | | |
| | Moderat | 8 % | 21 % | 7 % | 12 % | 5 % | 11 % | 4 % | 15 % | | |
| | God | 15 % | 21 % | 11 % | 18 % | 14 % | 22 % | 25 % | 28 % | | |
| 5_Norskehavet Nord | | 1_Apen | | 2_Moderat | | 3_Beskyttet | | 4_Fvp | | 5_SterktFvp | |
| | Svært dårlig | ISI2012 | ISI2018 | ISI2012 | ISI2018 | ISI2012 | ISI2018 | ISI2012 | ISI2018 | ISI2012 | ISI2018 |
| | Dårlig | 0 % | 0 % | 0 % | 8 % | 1 % | 6 % | 0 % | 0 % | | |
| | Moderat | 0 % | 17 % | 10 % | 11 % | 10 % | 12 % | 42 % | 42 % | | |
| | God | 67 % | 0 % | 75 % | 59 % | 65 % | 58 % | 25 % | 25 % | | |
| 6_Barentshavet | | 1_Apen | | 2_Moderat | | 3_Beskyttet | | 4_Fvp | | 5_SterktFvp | |
| | Svært dårlig | ISI2012 | ISI2018 | ISI2012 | ISI2018 | ISI2012 | ISI2018 | ISI2012 | ISI2018 | ISI2012 | ISI2018 |
| | Dårlig | 0 % | 0 % | 4 % | 6 % | 1 % | 3 % | 0 % | 0 % | | |
| | Moderat | 0 % | 0 % | 2 % | 2 % | 4 % | 9 % | 0 % | 0 % | | |
| | God | 100 % | 67 % | 87 % | 85 % | 78 % | 78 % | 100 % | 100 % | | |

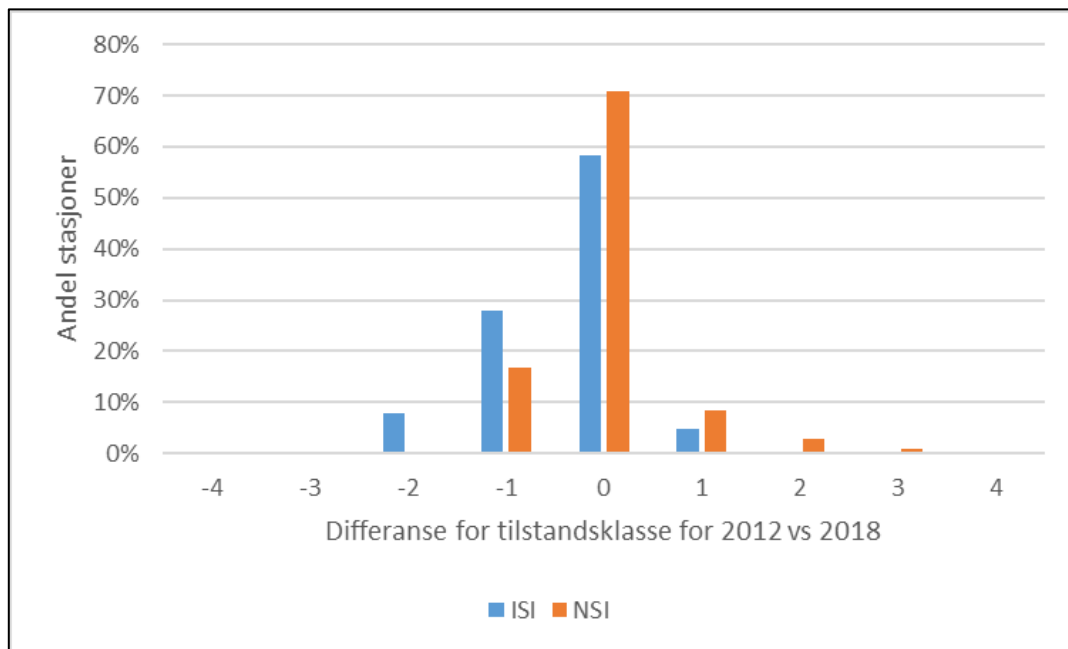
Tabell 4. Prosentmessig fordeling av stasjoner på de ulike tilstandsklassene i hver vanntype og økoregion for NSI2012 og NSI2018. Åpen=Åpen eksponert kyst, Moderat=Moderat eksponert kyst/fjord, Beskyttet=Beskyttet kyst/fjord, Fvp=Ferskvannspåvirket fjord, SterktFvp=Sterkt ferskvannspåvirket fjord.

| | | 1_Åpen | | 2_Moderat | | 3_Beskyttet | | 4_Fvp | | 5_SterktFvp | |
|--------------------|--------------|-----------|---------|-----------|---------|-------------|---------|---------|---------|-------------|---------|
| | | NSI2012 | NSI2018 | NSI2012 | NSI2018 | NSI2012 | NSI2018 | NSI2012 | NSI2018 | NSI2012 | NSI2018 |
| 1_Skagerak | Svært dårlig | 0 % | 0 % | 0 % | 0 % | 2 % | 1 % | | | 4 % | 2 % |
| | Dårlig | 0 % | 0 % | 4 % | 0 % | 16 % | 3 % | | | 9 % | 6 % |
| | Moderat | 5 % | 16 % | 22 % | 24 % | 22 % | 34 % | | | 18 % | 26 % |
| | God | 91 % | 84 % | 66 % | 72 % | 60 % | 61 % | | | 65 % | 63 % |
| | Svært god | 4 % | 0 % | 8 % | 5 % | 1 % | 1 % | | | 4 % | 4 % |
| 2_Nordsjøen Sør | | 1_Åpen | | 2_Moderat | | 3_Beskyttet | | 4_Fvp | | 5_SterktFvp | |
| | Svært dårlig | 0 % | 22 % | 5 % | 5 % | 3 % | 7 % | 4 % | 2 % | 0 % | 11 % |
| | Dårlig | 0 % | 0 % | 2 % | 3 % | 3 % | 3 % | 0 % | 2 % | 0 % | 0 % |
| | Moderat | 0 % | 0 % | 3 % | 10 % | 14 % | 9 % | 2 % | 11 % | 0 % | 0 % |
| | God | 66 % | 78 % | 83 % | 82 % | 51 % | 81 % | 83 % | 84 % | 78 % | 89 % |
| 3_Nordsjøen Nord | | 1_Åpen | | 2_Moderat | | 3_Beskyttet | | 4_Fvp | | 5_SterktFvp | |
| | Svært dårlig | 17 % | 0 % | 9 % | 1 % | 12 % | 4 % | 10 % | 1 % | | |
| | Dårlig | 0 % | 6 % | 3 % | 4 % | 4 % | 5 % | 1 % | 5 % | | |
| | Moderat | 13 % | 19 % | 6 % | 10 % | 14 % | 15 % | 10 % | 8 % | | |
| | God | 36 % | 38 % | 67 % | 76 % | 49 % | 71 % | 50 % | 78 % | | |
| 4_Norskehavet Sør | | 1_Åpen | | 2_Moderat | | 3_Beskyttet | | 4_Fvp | | 5_SterktFvp | |
| | Svært dårlig | 12 % | 2 % | 12 % | 1 % | 5 % | 1 % | 2 % | 2 % | | |
| | Dårlig | 7 % | 6 % | 6 % | 3 % | 4 % | 2 % | 4 % | 3 % | | |
| | Moderat | 16 % | 19 % | 10 % | 19 % | 13 % | 22 % | 25 % | 44 % | | |
| | God | 45 % | 64 % | 55 % | 70 % | 67 % | 72 % | 66 % | 51 % | | |
| 5_Norskehavet Nord | | 1_Åpen | | 2_Moderat | | 3_Beskyttet | | 4_Fvp | | 5_SterktFvp | |
| | Svært dårlig | 0 % | 0 % | 6 % | 0 % | 5 % | 1 % | 0 % | 0 % | | |
| | Dårlig | 0 % | 0 % | 6 % | 2 % | 2 % | 2 % | 0 % | 0 % | | |
| | Moderat | 0 % | 0 % | 14 % | 30 % | 16 % | 42 % | 33 % | 75 % | | |
| | God | 100 % | 100 % | 51 % | 57 % | 69 % | 51 % | 58 % | 17 % | | |
| 6_Barentshavet | | 1_Åpen | | 2_Moderat | | 3_Beskyttet | | 4_Fvp | | 5_SterktFvp | |
| | Svært dårlig | 0 % | 0 % | 0 % | 0 % | 0 % | 0 % | 0 % | 0 % | | |
| | Dårlig | 0 % | 0 % | 2 % | 0 % | 1 % | 0 % | 0 % | 0 % | | |
| | Moderat | 0 % | 0 % | 6 % | 17 % | 7 % | 35 % | 0 % | 50 % | | |
| | God | 100 % | 100 % | 38 % | 28 % | 79 % | 50 % | 100 % | 50 % | | |
| | | Svært god | | 0 % | | 0 % | | 53 % | | 55 % | |
| | | | | | | | | 13 % | | 15 % | |
| | | | | | | | | 0 % | | 0 % | |
| | | | | | | | | | | | |
| | | | | | | | | | | | |

Alle stasjoner som er klassifisert for henholdsvis ISI2012/NSI2012 og ISI2018/NSI2018 har også blitt gitt en numerisk verdi for tilstandsklassen hvor svært god = 1, god = 2 osv. Dermed kan det beregnes hvor mange av stasjonene som får samme tilstandsklasse etter 2012- og 2018-indeksene (Figur 4). Dersom en stasjon får samme tilstandsklasse for 2012-versjonen som 2018-versjonen, blir differansen 0. Dersom en stasjon får tilstandsklasse 1 (svært god) etter ISI2012 og tilstandsklasse 2 (god) etter ISI2018 blir differansen -1, mens motsatt resultat vil gi en differanse på 1.

Resultatene viser at ISI2012 og ISI2018 gir lik klassifisering for 58,4 % av stasjonene (Figur 4). Totalt 36,7 % av stasjonene blir klassifisert bedre etter ISI2012 sammenlignet med ISI2018, mens 4,9 % av stasjonene blir klassifisert dårligere. Det store flertallet av stasjonene (91 %) får enten samme tilstandsklasse (differanse = 0) eller avvik på kun en statusklasse (differanse = -1 eller 1) for 2012- og 2018-indeksene.

NSI2012 og NSI2018 gir lik klassifisering for 70,9 % av stasjonene (Figur 4). Totalt 16,9 % av stasjonene blir klassifisert bedre etter NSI2012 enn NSI2018, mens 12,3 % av stasjonene blir klassifisert dårligere. Det store flertallet av stasjonene (96 %) får samme tilstandsklasse (differanse = 0) eller kun avvik på én statusklasse (differanse = -1 eller 1) for 2012- og 2018-indeksene.



Figur 4. Oversikt over hvor mange stasjoner (i antall og prosent) som får lik eller ulik tilstandsklasse etter 2012- og 2018-versjonene av ISI og NSI. Differanse på 0 = lik tilstandsklasse, mens differanse på 1 eller -1 betyr på én tilstandsklasse.

3.1.2 Enkeltstudier fra C-undersøkelser (oppdrettslokaliteter)

Rådgivende biologer

Rådgivende biologer testet ut indeksene på et datasett med fire stasjoner og to parallelle prøver fra hver stasjon (dvs. åtte prøver til sammen). Datasettet kom fra en oppdrettslokalitet i økoregion Nordsjøen sør, vanntype *Beskyttet kyst/fjord*. Rådgivende biologer skriver:

«En sammenligning mellom resultatene ved bruk av oppdaterte og opprinnelige NSI- og ISI sensitivitetsverdier og klassegrenser viser markante forskjell i klassifiseringen, både på stasjoner som er påvirket av organisk belasting og relativt upåvirkete stasjoner ...».

De nye sensitivitetsindeksene (ISI2018 og NSI2018) ga lavere indeksverdier på alle stasjonene, både belastede og upåvirkede (Tabell 5). Stasjon C1 (nærstasjon, påvirket) og C3 (også påvirket av oppdrettsslam) endrer klassifisering fra *dårlig* til *svært dårlig* med de nye sensitivitetsindeksene. På C1 er de nye sensitivitetsindeksene dermed mer i tråd med de øvrige indeksene (altså NQI1, H' og ES100) som også gir *svært dårlig* tilstand. Stasjon C4 endrer tilstandsklasse fra *svært god* til *god*. Stasjonene C2 får ikke endret tilstandsklasse.

Rådgivende biologer bemerker også at det er påfallende at nEQR for NSI2018 generelt ligger tydelig under nEQR for NQI1, som også kombinerer sensitivitetsverdier og individtall per art. De viser til en generell observasjon om at ISI2012 ofte ligger i bedre tilstandsklasse enn de andre indeksene (se også ovenfor), og mener indeksen undervurderer belastningen ved organiske tilførsler. Rådgivende biologer anser det som positivt at ISI2018 klassifiserer «strengere» enn ISI2012, og dermed er mer i tråd med de øvrige indeksene. De peker på et behov for å undersøke det store avviket mellom NSI2012 og NQI1 nærmere.

Tabell 5. Oppsummering av resultatene fra Rådgivende biologer for ISI2012/ISI2018 og NSI2012/NSI2018. Verdiene er nEQR-verdier, ikke absolutte indeksverdier.

| Stasjon | ISI | | NSI | |
|---------|-------|-------|-------|-------|
| | 2012 | 2018 | 2012 | 2018 |
| C1 | 0,314 | 0,182 | 0,384 | 0,176 |
| C2 | 0,850 | 0,837 | 0,783 | 0,700 |
| C3 | 0,725 | 0,493 | 0,262 | 0,192 |
| C4 | 0,823 | 0,662 | 0,812 | 0,706 |

Åkerblå

Åkerblå testet ut indeksene på fire C-undersøkelser fra områder med ulike faunasammensetning og ulik grad av påvirkning. Tre av områdene er fra Norskehavet sør med vanntyper *Moderat eksponert kyst, Beskyttet kyst/fjord* og *Ferskvannspåvirket beskyttet fjord*. Det fjerde området er fra Norskehavet nord i vanntype *Beskyttet kyst/fjord*. Resultatene er sammenfattet i Tabell 6.

Åkerblås generelle konklusjon er at de reviderte sensitivitetsindeksene (ISI2018 og NSI2018) gir en strengere vurdering enn ISI2012 og NSI2012. Forskjellene er størst i områder med organisk belastning, og mindre i området med meget gode forhold. Åkerblå mener at de reviderte sensitivitetsverdiene i hovedsak er bedre egnet til å få frem nyansene i faunasammensetningen.

Tabell 6. Oppsummering av resultatene fra Åkerblå for ISI2012/ISI2018 og NSI2012/NSI2018. Verdiene er nEQR-verdier, ikke absolutte indeksverdier.

| Område | Stasjon | ISI | | NSI | |
|--------|---------|-------|-------|-------|-------|
| | | 2012 | 2018 | 2012 | 2018 |
| A | A1 | 0,690 | 0,278 | 0,191 | 0,163 |
| | A2 | 0,884 | 0,891 | 0,793 | 0,743 |
| | A3 | 0,878 | 0,912 | 0,839 | 0,800 |
| | A4 | 0,879 | 0,885 | 0,782 | 0,739 |
| | A5 | 0,866 | 0,829 | 0,740 | 0,793 |
| | A6 | 0,896 | 0,916 | 0,792 | 0,731 |
| B | B1 | 0,194 | 0,101 | 0,244 | 0,258 |
| | B2 | 0,854 | 0,813 | 0,670 | 0,622 |
| | B3 | 0,581 | 0,323 | 0,614 | 0,569 |
| | B4 | 0,663 | 0,649 | 0,464 | 0,606 |
| | B5 | 0,854 | 0,802 | 0,696 | 0,638 |
| C | C1 | 0,176 | 0,083 | 0,367 | 0,258 |
| | C2 | 0,834 | 0,586 | 0,677 | 0,636 |
| | C3 | 0,444 | 0,179 | 0,597 | 0,378 |
| | C4 | 0,268 | 0,087 | 0,389 | 0,271 |
| | C5 | 0,690 | 0,383 | 0,351 | 0,273 |
| D | D1 | 0,573 | 0,340 | 0,403 | 0,397 |
| | D2 | 0,818 | 0,805 | 0,705 | 0,753 |
| | D3 | 0,802 | 0,650 | 0,625 | 0,570 |
| | D4 | 0,788 | 0,771 | 0,681 | 0,699 |
| | D5 | 0,831 | 0,822 | 0,651 | 0,595 |

DNV-GL

DNV-GL testet ut de reviderte indeksene på tre datasett med totalt 49 grabbprøver; fra en oppdrettslokasjon (Nordsjøen nord, vanntype 3-5) og to fjorder på vestlandet (én i Nordsjøen nord, vanntype 3-5, og én i Norskehavet sør, vanntype 1-3). Resultatene er sammenfattet i Tabell 7.

DNV-GL konkluderer også med nEQR for 2018-indeksene er gjennomgående lavere enn for 2012-indeksene. Forskjellene mellom 2012 og 2018 er større for ISI enn for NSI. De reviderte indeksene gir seg mest utslag på stasjoner med høy andel opportunistiske arter, dvs. gir dårligere tilstand på slike stasjoner sammenlignet med 2012-indeksene.

Tabell 7. Oppsummering av resultatene fra DNV-GL for ISI2012/ISI2018 og NSI2012/NSI2018.

Verdiene er nEQR-verdier, ikke absolutte indeksverdier.

| Område | Stasjon | ISI | | NSI | |
|---------------------------------------|----------------|------|------|------|------|
| | | 2012 | 2018 | 2012 | 2018 |
| Oppdrettslokalitet, Nordsjøen nord | TEST_oppdrett1 | 0,34 | 0,17 | 0,14 | 0,10 |
| | TEST_oppdrett2 | 0,84 | 0,83 | 0,77 | 0,72 |
| | TEST_oppdrett3 | 0,60 | 0,33 | 0,17 | 0,14 |
| | TEST_oppdrett4 | 0,86 | 0,83 | 0,86 | 0,82 |
| | TEST_oppdrett5 | 0,85 | 0,82 | 0,64 | 0,58 |
| Fjord, Nordsjøen nord | Fjord1 | 0,84 | 0,80 | 0,80 | 0,70 |
| | Fjord2 | 0,82 | 0,75 | 0,80 | 0,70 |
| | Fjord3 | 0,82 | 0,81 | 0,78 | 0,70 |
| Fjord, Norskehavet sør | Vest1 | 0,80 | 0,61 | 0,72 | 0,66 |
| | Vest2 | 0,83 | 0,65 | 0,80 | 0,75 |
| | Vest3 | 0,85 | 0,9 | 0,75 | 0,71 |
| | Vest4 | 0,85 | 0,84 | 0,82 | 0,73 |
| | Vest5 | 0,86 | 0,84 | 0,82 | 0,75 |
| | Vest6 | 0,84 | 0,72 | 0,90 | 0,79 |

DNV-GL har også sammenlignet hvor mange arter i datasettet som har tilknyttede sensitivitetsverdier for ISI2012/NSI2012 og ISI2018/NSI2018. Andelen arter som har tilknyttede sensitivitetsverdier ligger på mellom 71 og 81 %, og er generelt noe lavere for 2018 enn for 2012.

3.2 Oppsummering av resultatene

- Datagrunnlaget hadde god geografisk spredning, men med en overvekt av data fra Trøndelag og sørøver, og noe mindre data fra Norskehavet nord og Barentshavet. Det var også en overvekt av data fra vanntypen *beskyttet kyst/fjord*.
- ISI-indekserne klassifiserte en høyere andel stasjoner til *svært god* tilstand sammenlignet med NSI-indekserne i alle økoregioner. Det var derimot en lavere andel stasjoner som klassifiserte til *god* tilstand for ISI sammenlignet med NSI, noe som tyder på at mange av stasjonene som fikk *god* tilstand for NSI, altså fikk *svært god* tilstand for ISI. Forskjellen i andel stasjoner som ble klassifisert til *svært god/god* tilstand, og *moderat/dårlig/svært dårlig* tilstand, var mindre systematiske.

- Andelen av stasjoner som ble klassifisert til *svært god* eller *god* tilstand (altså andelen med indeksverdi over grenseverdien mellom *god* og *moderat*) var lavere i alle økoregioner med unntak av NSI i Nordsjøen Sør og Nordsjøen Nord. Forskjellene var størst for NSI i Norskehavet Nord og Barentshavet, og for ISI i Nordsjøen Nord og Norskehavet sør.
- De reviderte indeksene ISI2018 og NSI2018 klassifiserte en lavere andel stasjoner til *svært god* tilstand i Nordsjøen og Norskehavet sammenlignet med ISI2012/NSI2012. For ISI var andelen stasjoner som ble klassifisert til *god* tilstand i hovedsak lik fra 2012 til 2018 i alle økoregioner. ISI2018 klassifiserte flere stasjoner til *svært dårlig* tilstand sammenlignet med ISI2012, mens for NSI var det motsatt.
- ISI2012 og ISI2018 ga lik klassifisering for 58,4 % av stasjonene, og NSI2012 og NSI2018 ga lik klassifisering for 70,9 % av stasjonene. ISI2018 ga dårligere tilstandsklasse enn ISI2012 for 36,7 % av stasjonene, og bedre tilstandsklasse for 4,9 % av stasjonene. For NSI var andelen som klassifiserte bedre og dårligere omtrent lik mellom 2018- og 2012-versjonen. Over 90 % av stasjonene fikk samme tilstandsklasse eller kun avvik på én statusklasse for 2012- og 2018-versjonene av begge indeksene.
- De tre andre laboratoriene som testet indeksene, konkluderte slik:
 - Rådgivende Biologer: De reviderte sensitivitetsindeksene ga lavere indeksverdier på alle de fire undersøkte stasjonene, både belastede og upåvirkede.
 - Åkerblå: De reviderte sensitivitetsindeksene ga en strengere vurdering enn ISI2012 og NSI2012. Forskjellene var størst i områder med organisk belastning, og mindre i området med meget gode forhold. De reviderte sensitivitetsverdiene er i hovedsak bedre til å få frem nyansene i faunasammensetningen
 - DNV-GL: nEQR for 2018-indeksene var gjennomgående lavere enn for 2012-indeksene, særlig på stasjoner med høy andel opportunistiske arter. Forskjellene var større for ISI enn for NSI.

Hovedkonklusjonen fra de tre andre laboratoriene var altså at de reviderte indeksene (2018) ga lavere nEQR-verdier, dvs. dårligere tilstand, enn de opprinnelige indeksene (2012). Dette er i hovedsak i tråd med NIVAs resultater på det mye større datasettet, som også viser at de nye indeksene er noe strengere, dvs. klassifiserer en lavere andel stasjoner til *god* eller *svært god* tilstand. Generelt viste ISI en større endring mellom 2012 enn 2018 (dårligere klassifisering) enn NSI, som samsvarer godt med inntrykket flere institusjoner har hatt om at ISI ofte har gitt en bedre tilstandsklasse enn de øvrige indeksene.

4 Konklusjon

NIVA mener resultatene viser at det er grunnlag for å anbefale at de reviderte sensitivitetsverdiene og indeksene med tilhørende grenseverdier bør erstatter de eksisterende (dvs. ISI2018 og NSI2018 erstatter hhv. ISI2012 og NSI2012). Det er grunn til å tro at de reviderte sensitivitetsindeksene gir et mer presist mål på den generelle sensitiviteten (eller toleransen) til artene man finner i en prøve siden flere arter har fått beregnet en sensitivitetsverdi. Noen viktige indikatorarter som tidligere ikke hadde sensitivitetsverdi, er blitt inkludert ved revisjonen (Borgersen m.fl. 2019). Resultatene viser at 70 % av stasjonene får samme tilstandsklasse for NSI2012 og NSI2018, og at andelen stasjoner som klassifiseres henholdsvis bedre og dårligere er omrent lik. For ISI er det en generell trend at den reviderte indeksen ISI2018 klassifiserer mange stasjoner dårligere sammenlignet med ISI2012. Dette resulterer i at indeksen i større grad vil klassifisere stasjoner mer i tråd med de øvrige indeksene, noe som oppfattes som positivt.

5 Anbefalinger og retningslinjer

5.1 Retningslinjer for minimum antall arter for beregning av NSI/ISI (som for NQI1 og AMBI)

Det finnes per i dag ingen retningslinjer som angir et minimumsantall for individer eller arter som bør være til stede i en prøve for at ISI og NSI kan beregnes. AMBI (Azti Marine Biotic Index; Borja m.fl. 2000) er en sensitivitetsindeks (egentlig en toleranseindeks) der artene tilordnes en toleranseklasse (økologiske grupper, EG): EG I-V står for henholdsvis sensitive, indifferente, tolerante, opportunistiske og forurensingsindikerende arter. I Norge brukes AMBI som en parameter i kombinasjonsindeksen NQI1. For AMBI angis det noen retningslinjer for minimum antall arter eller individer som bør være til stede i prøven for at AMBI kan beregnes:

“Although the AMBI is particularly useful in detecting temporal and spatial impact gradients, its robustness could be reduced when only a very low number of taxa (1–3) and/or individuals (<3 per replicate) are found in a sample.” (Borja og Muxica 2005)

A warning message about results validity (see our Guidelines) should appear if, for some stations:

- *The percentage of no assigned individuals is higher than 20%*
- *The (not null) number of species is less than 3*
- *The (not null) number of individuals is less than 6*

(Borja m.fl. 2012)

For beregning av SN, som inngår som en diversitetsparameter i NQI1, gis det følgende anbefaling:
“To prevent artefact values of SN, the index should only be applied on samples with at least 6 individuals.” (Rygg 2006)

NIVA vil anbefale lignende retningslinjer for beregning av NSI og ISI, og foreslår å innføre de samme retningslinjene som for AMBI. For at NSI og ISI kan beregnes bør grabbprøven inneholde:

- flere enn 3 arter/taksa
- flere enn 6 individer
- antallet arter/taksa uten sensitivitetsverdi bør ikke være høyere enn 20 %

5.3 Retningslinjer for hvilke taksa som skal inngå og ikke inngå i beregning av sensitivitetsindeksene

Bløtbunnsfauna skal i utgangspunktet identifiseres til lavest mulig taksonomisk nivå, hovedsakelig til artsnivå. Det vil likevel være en viss variasjon i taksonomisk nivå de utførende laboratorier legger seg på ved artsidentifisering; dette kan skyldes ulik praksis mellom laboratoriene eller ulik praksis eller kompetanse hos identifiserende personell. Det bør imidlertid bestrebes at laboratoriene utvikler så lik praksis som mulig slik at resultater fra ulike laboratorier er sammenlignbare. Det bør utarbeides en veileder som beskriver retningslinjer for taksonomisk nivå for de ulike dyregruppene i mer detalj enn det som finnes i dag.

5.4. Nye arter inn i AMBI

Det er flere viktige indikatorarter som kan opptre i høye tetheter, f.eks. ved oppdrettsanlegg, som nå har fått sensitivitetsverdier for NSI og ISI, men som fortsatt mangler økologisk gruppe i AMBI. Dette gjelder bl.a. *Prionospio plumosa* og *Boudemus ardabilia*, samt arter fra slekten *Ophryotrocha*. Det kan ha stor betydning for resultatene fra undersøkelser av slike områder at disse artene ikke inngår i beregningen av AMBI, og stasjoner kan bli klassifisert til en tilstand som er bedre enn den faktisk er. Det anbefales derfor at slike arter også får tilegnet en økologisk gruppe i AMBI, og dermed inngår i beregningen av AMBI-indekseen og NQI1.

5.5 Anbefaling for neste revisjon

Premisset som ligger til grunn for beregning av artenes sensitivitetsverdier ES100avg og ES100min5, er at lav artsdiversitet kan tyde på et stresset miljø, mens høy artsdiversitet indikerer god miljøtilstand. Arter som i hovedsak befinner seg på lokaliteter med høy artsdiversitet (= god miljøtilstand) anses som sensitive, mens arter som i større grad befinner seg på lokaliteter med lav artsdiversitet (=stresset miljø) anses som mer tolerante.

Beregning av artenes sensitivitetsverdier for ISI og NSI gjøres altså på grunnlag av artsdiversiteten (målt som ES100-indekseen) til de grabbprøvene som artene er registrert i. Sensitivitetsverdiene som inngår i beregning av NSI kalles **ES100avg**, og er definert som gjennomsnittet av summen av ES100 for alle individer av arten fra alle prøver hvor arten er registrert. Sensitivitetsverdien til ISI (**ES100min5**) beregnes derimot som gjennomsnittet av ES100 for de 5 prøvene med lavest ES100 hvor arten forekommer (se Borgersen m.fl. 2018 for detaljer).

Når datasettet blir større, vil ES100min5-verdien nødvendigvis bli lik eller lavere, men aldri høyere. Dette er fordi det kun er de fem prøvene med lavest ES100-verdi som inngår i beregningen av en arts ES100min5, slik at nye prøver med høyere ES100-verdi enn i det opprinnelige datasettet ikke vil inngå i beregningen. Dette kan «straffe» mange av de vanligste artene som har høy utbredelse og finnes «overalt», og som registreres i grabbprøver med både lav og høy ES100. Eksempler på dette er *P. jeffreysii* og *Nemertea*. ES100min5 er generelt sårbar for mer eller mindre tilfeldige artsregistreringer i datasettet og ekstremverdier som kan trekke en arts sensitivitetsverdi nedover. Dette er til dels korrigert for ved at grenseverdiene er lavere for ISI2018 enn ISI2012, men resultatene i nåværende undersøkelse tyder på at ES100min5-verdiene kan ligge for lavt for noen av artene.

For en eventuell fremtidig revisjon av sensitivitetsverdiene kan derfor følgende vurderes:

- å bruke de ti prøvene med laveste ES100-verdier i stedet for fem (dvs. endre **ES100min5 til ES100min10**) eller
- utelukke de fem laveste og bruke de fem neste verdiene (dvs. de 6-10 laveste).

Dette vil utelukke de mest ekstreme verdiene, som kan skyldes en mer eller mindre tilfeldige tilstedeværelse av en art i en grabbprøve med svært lav artsdiversitet (lav ES100).

6 Referanser

Borgersen, G., Trannum, H.C., Gundersen, H., Vedal, J. (2019). Oppdatering av bløtbunnsartenes sensitivitetsverdier. (NIVA-rapport; 7366)

Borja, Á., Franco, J., Perez, V. 2000. A marine biotic index to establish the ecological quality of soft-bottom benthos within European estuarine and coastal environments. *Mar. Pollut. Bull.* 40:1100–1114.

Borja, Á., Muxika, I. 2005. Guidelines for the use of AMBI (AZTI's Marine Biotic Index) in the assessment of the benthic ecological quality. *Mar. Pollut. Bull.* 50:787-789.

Borja, Á., Mader, J., Muxika I., 2012. Instructions for the use of the AMBI index software (Version 5.0). Revista de Investigación Marina, AZTI-Tecnalia, 19(3): 71-82

Direktoratsgruppa (2018). Veileder 02:2018. Klassifisering av miljøtilstand i vann. Økologisk og kjemisk klassifiseringssystem for kystvann, grunnvann, innsjøer og elver.

Fagerli, C.W., Trannum, H.C., Staalstrøm, A., Eikrem, W., Gitmark, J.K., Marty, S., Sørensen, K. (2019). ØKOKYST – DP Skagerrak. Årsrapport 2018. Norsk institutt for vannforskning. (NIVA-rapport; 7384).

Hurlbert, S.H. 1971. The nonconcept of species diversity: a critique and alternative parameters. *Ecology* 52:577-586.

Molvær, J., 1997. Klassifisering av miljøkvalitet i fjorden og kystfarvann. SFT-veiledning nr. 97:03

Rygg, B. og Thélín, I., 1993. Klassifisering av miljøkvalitet i fjorden og kystfarvann. Kortversjon. SFT-veiledning nr. 93:02.

Rygg, B. 2002. Indicator species for assessing benthic ecological quality in marine waters of Norway. NIVA-rapport 4548-2002.

Rygg, B. 2006. Developing indices for quality-status classification of marine soft-bottom fauna in Norway. NIVA-rapport 5208-2006. 33 s.

Rygg, B., Norling, K., 2013. Norwegian Sensitivity Index (NSI) for marine macroinvertebrates, and an update of Indicator Species Index (ISI). Norsk institutt for vannforskning. (NIVA-rapport; 6475).

Shannon, C.E., Weaver, W.W. 1963. The mathematical theory of communication. University of Illinois Press.117 s.

Vannforskriften (2006) (<https://lovdata.no/dokument/SF/forskrift/2006-12-15-1446?q=vannforskriften>)

Veileder 02:2018: Klassifisering av miljøtilstand i vann: Økologisk og kjemisk klassifiseringssystem for kystvann, grunnvann, innsjøer og elver. Direktoratsgruppen for gjennomføringen av vannforskriften. Direktoratsgruppen for gjennomføringen av vannforskriften 2018.

Vedlegg A.

Logg over endringer som er gjort fra artslisten med sensitivitetsverdier som ble publisert i Borgersen m.fl. (2018) til artslisten i Vedlegg C.

| |
|--|
| <p><i>Kelliella abyssicola</i> (Forbes, 1844) er et synonym av <i>Kelliella miliaris</i> og ble slettet fra artslisten.</p> |
| <p><i>Verruca stroemia</i> er en rur og ble slettet fra listen.</p> |
| <p>Amfipoden (spøkelseskrepstenen) <i>Phtisica marina</i> finnes hovedsakelig på alger og er slettet fra listen.</p> |
| <p>Platyhelminthes er en svært variert gruppe, som inkluderer både frittlevende former som finnes under diverse økologiske forhold, og en rekke parasittiske former. Taksonet ble slettet av listen.</p> |
| <p>Phoronida er en gruppe med usikker grad av variasjon innad i gruppen. Taksonet ble slettet av listen.</p> |
| <p>Det er lagt inn sensitivitetsverdier for <i>Chaetozone</i> sp., <i>Aphelochaeta</i> sp., <i>Owenia</i> sp. og <i>Lumbrineris</i> sp.</p> |
| <p><i>Caulieriella serrata</i> rettet til <i>Kirkegaardia serrata</i>; <i>Scoloplos acutus</i> rettet til <i>Leitoscoloplos acutus</i>.</p> |
| <p><i>Euspira pulchella</i> er synonym til <i>Euspira nitida</i>. <i>E.pulchella</i> er slettet, og <i>E.nitida</i> har fått justerte verdier som er snittet av <i>E.nitida</i> og <i>E.pulchella</i>.</p> |
| <p><i>Paramphitrite tetrabranchia</i> og <i>Paramphitrite birulai</i> trolig samma art i Norge, og <i>P. birulai</i> er gitt samme sensitivitetsverdi som <i>P.tetrabranchia</i>.</p> |
| <p><i>Owenia fusiformis</i> og <i>O.borealis</i> har fått samme verdi (snittet av de to artene). Det er lite sannsynlig at <i>O.fusiformis</i> finnes i Norge, men navnet er fortsatt i bruk.</p> |

Vedlegg B.

Antall taksa og prosentmessig fordeling på de ulike økologiske gruppene (EG) i AMBI. De korresponderende intervallene for ES100avg og ES100min5 er beregnet på grunnlag av de samme percentilene som for de økologiske gruppene i AMBI. Se Borgersen m.fl. (2018) for detaljer. Intervallene benyttes for å tilegne alle taksa i artslisten i Vedlegg C tilsvarende «økologiske grupper» (EG) for NSI og ISI. Tabellen er hentet fra Borgersen m.fl. (2018).

| AMBI EG | Beskrivelse | Antall taksa | % av taksa (531) | ES100avg 2018 intervall | ES100min5 2018 intervall |
|------------|--------------------------------|-----------------|---------------------|-------------------------------|--------------------------------|
| V | Forurensningsindikeringe arter | 7 | 1,3 | <9,8 | <1,9 |
| IV | Oppotunistiske arter | 35 | 6,6 | 9,8-20,1 | 1,9-3,1 |
| III | Tolerante arter | 87 | 16,4 | 20,1-25,1 | 3,1-6,6 |
| II | Nøytral ("indifferent") | 175 | 33,0 | 25,1-29,6 | 6,6-11 |
| I | Sensitive arter | 227 | 42,7 | >29,6 | >11 |

Vedlegg C.

Liste over alle arter som har tilknyttet sensitivitetsverdier. ES100avg fra 2012 og 2018 benyttes for beregning av henholdsvis NSI2012 og NSI2018, mens ES100min5 benyttes for beregning av henholdsvis ISI2012 og ISI2018. (OBS! Dette er ikke en utfyllende liste over alle arter som er tilordnet en økologisk gruppe i AMBI-systemet, kun de artene som også har en ES100avg eller ES100min5-verdi. For komplette liste over arter som har tilordnet en økologisk gruppe i AMBI se <http://ambi.azti.es/ambi/>). NSI og ISI «økologisk gruppe» (EG) er tilegnet på grunnlag av intervallene angitt i Vedlegg B. Det har blitt gjort enkelte endringer for denne artstlisten sammenlignet med artstlisten fra Borgersen m.fl. (2018), se Vedlegg A for logg over endringene.

| Takson_navn | ES100avg _2018 | ES100min5 _2018 | ES100avg _2012 | ES100min5 _2012 | AMBI EG | NSI "EG" | ISI "EG" |
|------------------------|-------------------|--------------------|-------------------|--------------------|------------|-------------|-------------|
| Abra alba | 21,69 | 3,71 | 19,55 | 3,82 | 3 | 3 | 3 |
| Abra longicallus | 26,18 | 8,28 | 22,99 | 9,40 | 3 | 2 | 2 |
| Abra nitida | 23,11 | 4,27 | 21,96 | 5,84 | 3 | 3 | 3 |
| Abra prismatica | 31,03 | 14,39 | 32,08 | 25,72 | 1 | 1 | 1 |
| Abyssoninoe hibernica | 29,04 | 9,14 | 31,74 | 12,55 | 1 | 2 | 2 |
| Abyssoninoe scopa | 29,05 | 10,36 | 29,10 | 10,89 | 1 | 2 | 2 |
| Acanthocardia echinata | 26,72 | 12,66 | 26,11 | 14,54 | 1 | 2 | 1 |
| Acidostoma obesum | 25,83 | 15,03 | 33,33 | 21,31 | 1 | 2 | 1 |
| Acteon tornatilis | 29,10 | 14,95 | 27,62 | 16,90 | 1 | 2 | 1 |
| Actiniaria | | | 32,17 | 18,98 | 2 | | |
| Adontorhina similis | 29,11 | 9,65 | | | | 2 | 2 |
| Aglaophamus malmgreni | 21,98 | 10,75 | 23,28 | 14,29 | 2 | 3 | 2 |
| Aglaophamus pulcher | 26,54 | 11,58 | 23,94 | 12,06 | 2 | 2 | 1 |
| Alvania testae | 36,61 | 24,88 | 37,33 | 24,88 | 1 | 1 | 1 |
| Amaeana trilobata | 28,99 | 7,63 | 27,42 | 10,04 | 1 | 2 | 2 |
| Amage auricula | 31,56 | 13,23 | 28,51 | 14,67 | 1 | 1 | 1 |
| Ampelisca | 31,11 | | 29,54 | 5,02 | 1 | 1 | |
| Ampelisca aequicornis | 30,89 | 13,30 | 30,43 | 13,59 | 1 | 1 | 1 |
| Ampelisca brevicornis | 26,39 | 12,61 | 24,80 | 13,36 | 1 | 2 | 1 |
| Ampelisca diadema | 32,22 | 18,66 | | | 2 | 1 | 1 |
| Ampelisca eschrichtii | 33,86 | 22,69 | | | 1 | 1 | 1 |
| Ampelisca gibba | 37,20 | 17,21 | 33,72 | 17,26 | 1 | 1 | 1 |
| Ampelisca macrocephala | 35,29 | 17,06 | 31,57 | 21,80 | 1 | 1 | 1 |
| Ampelisca tenuicornis | 27,39 | 10,34 | 28,65 | 11,47 | 1 | 2 | 2 |
| Ampelisca typica | 26,00 | 10,49 | 21,43 | 15,88 | 1 | 2 | 2 |
| Ampharete | 28,70 | 9,15 | 27,82 | 9,76 | | 2 | 2 |
| Ampharete borealis | 19,88 | 8,44 | 20,67 | 13,30 | 2 | 4 | 2 |
| Ampharete falcata | 27,74 | 9,84 | 29,85 | 11,08 | 2 | 2 | 2 |
| Ampharete finmarchica | 33,10 | 12,15 | 25,55 | 12,10 | 1 | 1 | 1 |
| Ampharete lindstroemi | 29,64 | 11,63 | | | 1 | 1 | 1 |
| Ampharete octocirrata | 30,81 | 5,46 | 28,08 | 8,51 | 2 | 1 | 3 |
| Ampharetidae | | | 30,90 | 8,88 | | | |

| Takson_navn | ES100avg _2018 | ES100min5 _2018 | ES100avg _2012 | ES100min5 _2012 | AMBI EG | NSI "EG" | ISI "EG" |
|------------------------------------|-------------------|--------------------|-------------------|--------------------|------------|-------------|-------------|
| Amphicteis gunneri | 26,51 | 5,55 | 20,97 | 5,60 | 3 | 2 | 3 |
| Amphictene auricoma | 27,72 | 4,76 | 27,08 | 9,97 | 1 | 2 | 3 |
| Amphilepis norvegica | 28,78 | 8,57 | 27,32 | 10,66 | 1 | 2 | 2 |
| Amphipholis squamata | 31,97 | 7,91 | 27,60 | 11,70 | 1 | 1 | 2 |
| Amphipoda | | | 27,13 | 7,18 | | | |
| Amphitrite cirrata | 32,58 | 12,34 | 19,27 | 13,80 | 1 | 1 | 1 |
| Amphiura | 24,39 | 7,63 | 21,29 | 9,70 | 2 | 3 | 2 |
| Amphiura chiajei | 28,41 | 6,24 | 27,26 | 7,65 | 2 | 2 | 3 |
| Amphiura filiformis | 23,30 | 7,62 | 22,96 | 7,80 | 2 | 3 | 2 |
| Amythasides macroglossus | 35,21 | 8,61 | 32,83 | 11,01 | 1 | 1 | 2 |
| Anatoma crispata | 35,25 | 19,53 | | | | 1 | 1 |
| Anobothrus gracilis | 26,74 | 3,93 | 23,41 | 5,37 | 3 | 2 | 3 |
| Anobothrus laubieri | 32,55 | 12,73 | 30,74 | 14,17 | 1 | 1 | 1 |
| Antalis entalis | 33,10 | 7,00 | 30,66 | 11,62 | 1 | 1 | 2 |
| Antalis occidentalis | 29,75 | 14,19 | 30,00 | 17,60 | 1 | 1 | 1 |
| Anthozoa | | | 28,22 | 8,09 | 2 | | |
| Aonides paucibranchiata | 31,23 | 4,98 | 33,22 | 15,80 | 3 | 1 | 3 |
| Aphelochaeta | 25,36 | 3,54 | 25,32 | 9,68 | 4 | 2 | 3 |
| Aphelochaeta marioni | 24,27 | 7,48 | 21,18 | 7,60 | 4 | 3 | 2 |
| Aphelochaeta mcintoshii | 25,23 | 18,34 | 29,97 | 19,97 | 4 | 2 | 1 |
| Aphrodita aculeata | 29,73 | 8,89 | 28,54 | 11,35 | 1 | 1 | 2 |
| Aphroditidae | | | 27,02 | 9,73 | | | |
| Apistobranchus tenuis | 30,58 | 19,00 | | | 1 | 1 | 1 |
| Apistobranchus tullbergi | 25,98 | 10,52 | 26,41 | 11,36 | 1 | 2 | 2 |
| Aporrhais pespelecani | 27,10 | 10,37 | | | 1 | 2 | 2 |
| Apseudes spinosus | 33,06 | 13,74 | 27,84 | 18,81 | 1 | 1 | 1 |
| Arctica islandica | 24,37 | 6,80 | 22,35 | 8,10 | 3 | 3 | 2 |
| Arenicola marina | 15,53 | 2,23 | | | 3 | 4 | 4 |
| Ariadnaria borealis | 40,52 | 26,04 | | | 0 | 1 | 1 |
| Aricidea | 29,67 | 10,94 | 30,89 | 12,22 | | 1 | 2 |
| Aricidea (Acmira) catherinae | 30,69 | 9,77 | 32,50 | 16,16 | 2 | 1 | 2 |
| Aricidea (Acmira) cerrutii | 32,07 | 15,36 | | | 1 | 1 | 1 |
| Aricidea (Strelzovia) quadrilobata | 29,64 | 11,24 | | | 1 | 1 | 1 |
| Aricidea (Strelzovia) suecica | 24,38 | 9,00 | 31,24 | 12,62 | 1 | 3 | 2 |
| Arrhis phyllonyx | 25,45 | 9,42 | 26,19 | 10,46 | 3 | 2 | 2 |
| Artacama proboscidea | 22,37 | 10,51 | 23,59 | 10,51 | 1 | 3 | 2 |
| Asciidiacea | | | 28,12 | 8,47 | 3 | | |
| Astacilla dilatata | 37,93 | 24,26 | 39,90 | 24,97 | 2 | 1 | 1 |
| Astarte | 33,31 | | | | 1 | 1 | |
| Astarte crenata | 31,71 | 13,17 | | | 1 | 1 | 1 |
| Astarte elliptica | 33,82 | 9,75 | 32,38 | 12,52 | 1 | 1 | 2 |

| Takson_navn | ES100avg _2018 | ES100min5 _2018 | ES100avg _2012 | ES100min5 _2012 | AMBI EG | NSI "EG" | ISI "EG" |
|-----------------------------|-------------------|--------------------|-------------------|--------------------|------------|-------------|-------------|
| Astarte montagui | 32,24 | 8,80 | 30,97 | 12,00 | 1 | 1 | 2 |
| Astarte sulcata | 33,03 | 5,39 | 30,38 | 13,07 | 1 | 1 | 3 |
| Asterias rubens | 25,57 | 7,18 | 22,41 | 9,24 | 3 | 2 | 2 |
| Astroidea | | | 20,60 | 6,41 | 1 | | |
| Asterope mariae | | | 29,31 | 17,00 | 1 | | |
| Astropecten irregularis | | | 28,06 | 15,10 | 1 | | |
| Augeneria tentaculata | 30,38 | 11,89 | 31,97 | 14,57 | | 1 | 1 |
| Aurospio banyulensis | 31,24 | 10,06 | 30,23 | 14,39 | 4 | 1 | 2 |
| Axinulus croulinensis | 34,00 | 13,50 | 30,29 | 14,97 | 1 | 1 | 1 |
| Bathyarca glacialis | 27,09 | 13,95 | | | 1 | 2 | 1 |
| Bathyarca pectunculoides | 33,27 | 11,63 | 33,51 | 20,65 | 1 | 1 | 1 |
| Bathymedon longimanus | 25,85 | 10,83 | 24,67 | 10,75 | 2 | 2 | 2 |
| Bathymedon saussurei | 23,69 | 13,01 | 24,08 | 13,01 | 2 | 3 | 1 |
| Bivalvia | | | 28,41 | 8,11 | | | |
| Bodotria scorpioides | | | 28,78 | 18,04 | 1 | | |
| Boreochiton ruber | 30,00 | 19,09 | | | 1 | 1 | 1 |
| Boudemus ardabilia | 6,83 | 5,17 | | | | 5 | 3 |
| Brachydiastylis resima | 29,64 | 11,50 | 24,91 | 12,87 | 2 | 1 | 1 |
| Brada | | | 26,22 | 15,16 | 1 | | |
| Brada villosa | 26,68 | 7,72 | 24,68 | 9,27 | 1 | 2 | 2 |
| Brisaster fragilis | 27,24 | 10,88 | 21,68 | 13,03 | 3 | 2 | 2 |
| Brissopsis lyrifera | 26,33 | 8,69 | 26,63 | 8,83 | 1 | 2 | 2 |
| Byblis crassicornis | 41,84 | 30,05 | 36,55 | 29,33 | | 1 | 1 |
| Byblis gaimardii | 32,18 | 13,62 | | | 1 | 1 | 1 |
| Bylgides elegans | 26,00 | 11,76 | | | 1 | 2 | 1 |
| Bylgides sarsi | 20,83 | 10,02 | 21,68 | 10,91 | 1 | 3 | 2 |
| Caeconyx caeculus | | | 24,25 | 14,77 | 2 | | |
| Calathura norvegica | | | 43,91 | 37,65 | 1 | | |
| Callianassa | 32,70 | 19,30 | 30,59 | 19,30 | 3 | 1 | 1 |
| Calocarides coronatus | 27,63 | 13,18 | 27,37 | 17,21 | 2 | 2 | 1 |
| Calocaris macandreae | 29,88 | 9,42 | 26,90 | 9,42 | 2 | 1 | 2 |
| Campylaspis costata | 31,64 | 12,88 | 31,24 | 16,53 | 2 | 1 | 1 |
| Capitella | | | 20,92 | 10,86 | 5 | | |
| Capitella capitata kompleks | 5,45 | 1,16 | 6,98 | 1,58 | 5 | 5 | 5 |
| Capitellidae | | | 21,00 | 8,56 | 5 | | |
| Caprella | | | 20,33 | 9,75 | 2 | | |
| Cardiidae | | | 24,21 | 16,16 | 3 | | |
| Cardiomya costellata | 35,46 | 18,67 | 34,89 | 21,83 | 1 | 1 | 1 |
| Caudofoveata | | | 26,89 | 6,43 | | | |
| Caulieriella | | | 20,46 | 6,07 | | | |
| Caulieriella bioculata | 27,29 | 3,38 | | | 4 | 2 | 3 |
| Ceratocephale loveni | 22,49 | 5,39 | 22,89 | 7,65 | 2 | 3 | 3 |

| Takson_navn | ES100avg _2018 | ES100min5 _2018 | ES100avg _2012 | ES100min5 _2012 | AMBI EG | NSI "EG" | ISI "EG" |
|---------------------------|-------------------|--------------------|-------------------|--------------------|------------|-------------|-------------|
| Cerianthus lloydii | 24,63 | 2,34 | 20,52 | 4,73 | 1 | 3 | 4 |
| Chaetoderma | | | 26,79 | 8,64 | 2 | | |
| Chaetoderma nitidulum | 28,71 | 8,26 | 23,45 | 9,11 | 2 | 2 | 2 |
| Chaetognatha | | | 24,39 | 12,78 | | | |
| Chaetoparia nilssoni | 29,05 | 13,65 | 26,19 | 14,07 | 2 | 2 | 1 |
| Chaetopterus variopedatus | 32,85 | 11,95 | 30,14 | 16,14 | 1 | 1 | 1 |
| Chaetozone | 22,62 | 3,45 | 18,86 | 10,98 | 4 | 3 | 3 |
| Chaetozone jubata | 26,34 | 13,07 | | | 4 | 2 | 1 |
| Chaetozone setosa | 17,35 | 1,97 | 14,46 | 3,47 | 4 | 4 | 4 |
| Chaetozone zetlandica | 22,15 | 11,73 | | | 4 | 3 | 1 |
| Chamelea gallina | | | 21,75 | 13,95 | 1 | | |
| Chamelea striatula | 24,76 | 11,37 | 27,81 | 12,77 | 1 | 3 | 1 |
| Cheirocratus | | | 28,31 | 9,55 | 1 | | |
| Cheirocratus sundevallii | 28,65 | 12,09 | 27,92 | 17,76 | 1 | 2 | 1 |
| Chiridota laevis | 29,22 | 20,16 | | | | 2 | 1 |
| Chirimia biceps | 30,64 | 11,35 | 26,16 | 14,65 | 2 | 1 | 1 |
| Chirimia biceps biceps | | | 27,92 | 12,25 | 2 | | |
| Chone | 33,81 | | 27,72 | 9,00 | 2 | 1 | |
| Chone duneri | 32,83 | 7,51 | 28,85 | 7,51 | 2 | 1 | 2 |
| Chone filicaudata | 32,90 | 17,15 | | | 2 | 1 | 1 |
| Chone infundibuliformis | | | 24,19 | 9,78 | 2 | | |
| Chone paucibranchiata | 38,93 | 17,88 | | | | 1 | 1 |
| Cirratulidae | | | 12,86 | 6,52 | 4 | | |
| Cirratulus | | | 27,40 | 19,37 | 4 | | |
| Cirratulus cirratus | 17,36 | 2,22 | 13,65 | 4,54 | 4 | 4 | 4 |
| Cirriformia tentaculata | 19,87 | 5,57 | | | 4 | 4 | 3 |
| Cistenides hyperborea | 22,71 | 7,96 | 19,21 | 12,94 | 1 | 3 | 2 |
| Clausinella fasciata | | | 28,33 | 14,11 | 1 | | |
| Clymenura | | | 30,44 | 19,53 | 3 | | |
| Clymenura borealis | 30,91 | 13,14 | 33,19 | 24,08 | 3 | 1 | 1 |
| Cochlodesma praetenuue | 31,14 | 20,17 | | | 0 | 1 | 1 |
| Corbula gibba | 21,09 | 2,82 | 16,14 | 3,70 | 4 | 3 | 4 |
| Corophium | 29,72 | 3,99 | 22,80 | 9,05 | 3 | 1 | 3 |
| Cossura longocirrata | 14,95 | 5,72 | 15,69 | 5,72 | 4 | 4 | 3 |
| Crenella decussata | 30,11 | 8,28 | 31,00 | 21,74 | 1 | 1 | 2 |
| Cryptonatica affinis | 30,56 | 14,19 | | | 2 | 1 | 1 |
| Ctenodiscus crispatus | 20,02 | 9,07 | 20,30 | 10,72 | 1 | 4 | 2 |
| Cumacea | | | 27,45 | 15,68 | 1 | | |
| Cuspidaria | 29,90 | | | | 1 | 1 | |
| Cuspidaria cuspidata | 29,10 | 14,36 | 27,03 | 14,69 | 1 | 2 | 1 |
| Cuspidaria lamellosa | 35,29 | 18,35 | | | 1 | 1 | 1 |
| Cuspidaria obesa | 27,02 | 8,63 | 25,27 | 11,19 | 1 | 2 | 2 |

| Takson_navn | ES100avg _2018 | ES100min5 _2018 | ES100avg _2012 | ES100min5 _2012 | AMBI EG | NSI "EG" | ISI "EG" |
|--------------------------|-------------------|--------------------|-------------------|--------------------|------------|-------------|-------------|
| Cuspidaria rostrata | 31,58 | 13,47 | 29,42 | 14,36 | 1 | 1 | 1 |
| Cyllichna alba | 29,26 | 8,94 | 28,26 | 12,84 | 2 | 2 | 2 |
| Cyllichna cylindracea | 27,98 | 4,02 | 27,25 | 9,87 | 2 | 2 | 3 |
| Cylindroleberis mariae | 30,47 | 17,00 | | | | 1 | 1 |
| Dacrydium vitreum | 27,90 | 11,21 | 27,61 | 17,11 | 1 | 2 | 1 |
| Dasybranchus caducus | 24,79 | 8,99 | | | 3 | 3 | 2 |
| Decapod larver | | | 24,05 | 10,40 | | | |
| Decapoda | | | 21,59 | 11,81 | | | |
| Delectopecten vitreus | 22,70 | 8,85 | 18,86 | 11,10 | 3 | 3 | 2 |
| Desmosomatidae | | | 31,81 | 24,86 | | | |
| Diaphana minuta | 28,12 | 11,68 | | | 1 | 2 | 1 |
| Diastylidae | | | 29,90 | 13,95 | | | |
| Diastylis | | | 29,20 | 9,54 | 1 | | |
| Diastylis cornuta | 30,36 | 4,22 | 28,70 | 9,36 | 1 | 1 | 3 |
| Diastylis lucifera | 15,90 | 3,90 | 18,91 | 5,29 | 3 | 4 | 3 |
| Diastylis rathkei | 16,05 | 5,70 | 13,40 | 6,33 | 3 | 4 | 3 |
| Diastylis rostrata | 20,93 | 8,60 | 21,12 | 8,45 | 3 | 3 | 2 |
| Diastylis scorpioides | 31,26 | 13,30 | | | 1 | 1 | 1 |
| Diastyloides biplicatus | 30,01 | 5,34 | 28,94 | 10,08 | 1 | 1 | 3 |
| Diastyloides serratus | 26,79 | 5,45 | 25,43 | 10,44 | 1 | 2 | 3 |
| Diplocirrus glaucus | 27,57 | 3,77 | 26,89 | 7,98 | 1 | 2 | 3 |
| Diplocirrus longisetosus | 35,34 | 17,83 | | | 1 | 1 | 1 |
| Dipolydora caulleryi | 16,46 | 5,54 | 8,17 | 4,95 | 4 | 4 | 3 |
| Dipolydora coeca | 31,78 | 11,97 | 35,12 | 16,74 | 4 | 1 | 1 |
| Dipolydora quadrilobata | 24,32 | 5,25 | | | 4 | 3 | 3 |
| Dipolydora socialis | 23,29 | 6,85 | 20,13 | 7,50 | 4 | 3 | 2 |
| Discoconchoecia elegans | | | 21,32 | 13,95 | 3 | | |
| Ditrupa arietina | 32,57 | 12,32 | | | 1 | 1 | 1 |
| Dodecaceria concharum | 23,33 | 7,07 | | | 4 | 3 | 2 |
| Dorvilleidae | | | 22,16 | 9,69 | 0 | | |
| Dosinia exoleta | | | 31,24 | 24,01 | 1 | | |
| Dosinia lupinus | 26,92 | 13,84 | 21,62 | 13,08 | 1 | 2 | 1 |
| Drilonereis filum | 25,61 | 8,83 | 24,19 | 9,98 | 2 | 2 | 2 |
| Echinocardium | 26,51 | | 22,46 | 14,45 | 0 | 2 | |
| Echinocardium cordatum | 24,09 | 5,36 | 25,02 | 8,88 | 1 | 3 | 3 |
| Echinocardium flavescent | 28,22 | 6,85 | 29,08 | 10,19 | 2 | 2 | 2 |
| Echinocucumis hispida | 38,08 | 20,41 | 36,36 | 24,32 | 1 | 1 | 1 |
| Echinocyamus pusillus | 33,28 | 12,11 | 32,01 | 14,05 | 1 | 1 | 1 |
| Echinoidea | | | 29,20 | 14,06 | 1 | | |
| Echiuroidea | | | 26,36 | 14,33 | 2 | | |
| Echiurus echiurus | 20,30 | 12,02 | | | 2 | 3 | 1 |
| Eclipsippe vanelli | 33,82 | 10,26 | 29,64 | 10,69 | 1 | 1 | 2 |

| Takson_navn | ES100avg _2018 | ES100min5 _2018 | ES100avg _2012 | ES100min5 _2012 | AMBI EG | NSI "EG" | ISI "EG" |
|--------------------------|-------------------|--------------------|-------------------|--------------------|------------|-------------|-------------|
| Edwardsia | 24,79 | | 23,22 | 7,79 | 2 | 3 | |
| Edwardsia danica | 22,74 | 12,26 | 24,07 | 12,26 | 2 | 3 | 1 |
| Edwardsia longicornis | 26,45 | 10,09 | 24,55 | 10,09 | 2 | 2 | 2 |
| Edwardsia tuberculata | | | 27,43 | 18,78 | 2 | | |
| Edwardsiidae | | | 24,42 | 8,62 | 2 | | |
| Ennucula corticata | 32,85 | 14,46 | | | 2 | 1 | 1 |
| Ennucula delphinodonta | | | 24,33 | 13,94 | 2 | | |
| Ennucula tenuis | 23,81 | 5,34 | 23,54 | 5,66 | 2 | 3 | 3 |
| Entalina tetragona | 30,72 | 7,77 | 29,30 | 14,00 | 1 | 1 | 2 |
| Ericthonius rubricornis | | | 34,71 | 23,16 | 1 | | |
| Eriopisa elongata | 26,51 | 5,53 | 25,15 | 10,36 | 1 | 2 | 3 |
| Erycinacea | | | 26,82 | 12,19 | | | |
| Eteone | | | 18,80 | 4,66 | 3 | | |
| Eteone flava | | | 16,30 | 6,18 | 3 | | |
| Eteone flava/longa | 21,71 | 6,27 | | | 3 | 3 | 3 |
| Eteone longa | | | 17,02 | 4,72 | 3 | | |
| Euchone | | | 23,43 | 5,36 | 2 | | |
| Euchone analis | 34,62 | 17,96 | | | 2 | 1 | 1 |
| Euchone papillosa | 18,31 | 8,14 | 19,05 | 10,44 | 2 | 4 | 2 |
| Euchone southerni | 36,03 | 16,02 | | | 2 | 1 | 1 |
| Euclymene | 30,23 | 14,67 | 27,42 | 13,71 | 0 | 1 | 1 |
| Euclymene droebachiensis | 29,95 | 13,58 | | | 3 | 1 | 1 |
| Euclymene lindrothi | 31,54 | 16,76 | | | | 1 | 1 |
| Euclymeninae | | | 27,88 | 9,69 | 3 | | |
| Eudorella | | | 28,22 | 16,03 | 0 | | |
| Eudorella emarginata | 24,14 | 8,64 | 22,66 | 8,69 | 2 | 3 | 2 |
| Eudorella hirsuta | 26,35 | 16,02 | 25,55 | 16,02 | 2 | 2 | 1 |
| Eudorella truncatula | 28,06 | 11,09 | 26,12 | 11,36 | 1 | 2 | 1 |
| Eudorellopsis deformis | | | 28,90 | 15,73 | 0/1 | | |
| Eugerda tenuimana | | | 31,92 | 19,42 | 1 | | |
| Eulalia mustela | 32,16 | 15,92 | | | 2 | 1 | 1 |
| Eulalia tjalfiensis | 31,48 | 17,91 | | | | 1 | 1 |
| Eulalia viridis | 35,44 | 19,43 | | | 2 | 1 | 1 |
| Eulima bilineata | 37,55 | 14,39 | | | 1 | 1 | 1 |
| Eulimidae | 33,09 | 12,75 | | | | 1 | 1 |
| Eumida | | | 31,12 | 12,20 | 2 | | |
| Eumida bahusiensis | 30,13 | 6,83 | 29,49 | 15,71 | 2 | 1 | 2 |
| Eumida ockelmanni | 35,19 | 13,31 | | | 2 | 1 | 1 |
| Eumida sanguinea | 33,75 | 12,06 | | | 2 | 1 | 1 |
| Eunereis elittoralis | 28,00 | 6,61 | | | 2 | 2 | 2 |
| Eunereis longissima | 22,82 | 6,61 | 22,00 | 7,51 | 3 | 3 | 2 |
| Eunice pennata | 34,51 | 10,77 | 36,38 | 23,16 | 2 | 1 | 2 |

| Takson_navn | ES100avg _2018 | ES100min5 _2018 | ES100avg _2012 | ES100min5 _2012 | AMBI EG | NSI "EG" | ISI "EG" |
|--|-------------------|--------------------|-------------------|--------------------|------------|-------------|-------------|
| Eunoe nodosa | | | 23,43 | 14,31 | 2 | | |
| Eupolymnia nebulosa | 32,13 | 4,73 | 23,22 | 8,58 | 3 | 1 | 3 |
| Eupolymnia nesidensis | 35,50 | 8,15 | 31,42 | 11,53 | 3 | 1 | 2 |
| Eurycope cornuta | 23,79 | 13,94 | 24,52 | 14,17 | 1 | 3 | 1 |
| Euspira montagui | 30,00 | 3,04 | 26,22 | 10,38 | 2 | 1 | 4 |
| Euspira nitida | 25,46 | 3,82 | 24,27 | 8,08 | 2 | 2 | 3 |
| Euspira pallida | 29,20 | 7,66 | 24,47 | 12,37 | 2 | 2 | 2 |
| Exogone | | | 25,15 | 8,75 | 2 | | |
| Exogone naidina | 30,88 | 8,87 | 27,71 | 14,39 | 2 | 1 | 2 |
| Exogone verugera | 30,22 | 5,22 | 27,72 | 9,06 | 2 | 1 | 3 |
| Fabriciinae | | | 21,71 | 9,70 | | | |
| Fabulina fabula | 24,49 | 7,20 | | | 1 | 3 | 2 |
| Falcidens crossotus | 35,03 | 15,22 | | | 1 | 1 | 1 |
| Flabelligera affinis | 32,60 | 11,63 | 32,04 | 14,48 | 2 | 1 | 1 |
| Flabelligeridae | | | 23,62 | 8,90 | | | |
| Galathea strigosa | | | 32,80 | 17,59 | 1 | | |
| Galathowenia fragilis | 32,69 | 14,84 | 35,47 | 25,78 | 3 | 1 | 1 |
| Galathowenia oculata | 21,66 | 2,49 | 20,69 | 5,25 | 3 | 3 | 4 |
| Gammaropsis sophiae | 19,86 | 8,03 | 20,96 | 6,80 | 1 | 4 | 2 |
| Gammarus | 5,91 | 2,60 | | | 1 | 5 | 4 |
| Gari fervensis | 31,07 | 20,26 | | | 1 | 1 | 1 |
| Gastropoda | | | 30,47 | 14,00 | | | |
| Gattyana amondseni | 27,83 | 11,15 | | | 3 | 2 | 1 |
| Gattyana cirrhosa | 27,62 | 5,19 | 27,24 | 5,92 | 3 | 2 | 3 |
| Genaxinus eumyarius | 25,97 | 15,48 | 29,70 | 19,10 | 2 | 2 | 1 |
| Gibbula tumida | 34,76 | 20,24 | | | 1 | 1 | 1 |
| Glycera | | | 23,82 | 7,13 | 2 | | |
| Glycera alba | 23,43 | 2,13 | 23,30 | 3,42 | 4 | 3 | 4 |
| Glycera capitata | 32,39 | 7,07 | 29,20 | 9,01 | 2 | 1 | 2 |
| Glycera lapidum | 29,85 | 2,91 | 28,54 | 8,01 | 2 | 1 | 4 |
| Glycera unicornis | 29,57 | 7,80 | 27,78 | 8,52 | 2 | 2 | 2 |
| Glycinde nordmanni | 28,61 | 8,41 | 28,72 | 8,41 | 2 | 2 | 2 |
| Glyphanostomum pallescens | 30,18 | 11,25 | | | 1 | 1 | 1 |
| Glyphohesione klatti | 24,41 | 7,25 | 24,14 | 9,29 | 2 | 3 | 2 |
| Gnathia | 32,27 | 13,67 | 31,83 | 19,08 | 1 | 1 | 1 |
| Gnathia maxillaris | 31,23 | 14,42 | 29,74 | 15,41 | 1 | 1 | 1 |
| Gnathia oxyuraea | 33,30 | 13,52 | 29,83 | 15,48 | 1 | 1 | 1 |
| Golfingia | | | 27,38 | 9,10 | 1 | | |
| Golfingia (Golfingia) margaritacea | 22,99 | 13,94 | 26,84 | 14,28 | 1 | 3 | 1 |
| Golfingia (Golfingia) vulgaris vulgaris | 32,87 | 17,94 | | | 1 | 1 | 1 |

| Takson_navn | ES100avg _2018 | ES100min5 _2018 | ES100avg _2012 | ES100min5 _2012 | AMBI EG | NSI "EG" | ISI "EG" |
|-------------------------|-------------------|--------------------|-------------------|--------------------|------------|-------------|-------------|
| Golfingia minuta | | | 26,87 | 13,01 | 1 | | |
| Goniada | | | 17,97 | 10,57 | 2 | | |
| Goniada maculata | 26,72 | 3,07 | 25,50 | 4,66 | 2 | 2 | 4 |
| Goniadella bobrezkii | | | 35,21 | 18,60 | 2 | | |
| Gyptis rosea | 27,78 | 6,94 | 25,95 | 7,47 | 1 | 2 | 2 |
| Haliella stenostoma | 28,39 | 14,58 | 26,37 | 17,05 | 1 | 2 | 1 |
| Haploops setosa | 35,62 | 18,75 | 36,88 | 24,30 | 3 | 1 | 1 |
| Haploops tubicola | 26,70 | 13,77 | 28,06 | 14,26 | 3 | 2 | 1 |
| Harmothoe | 30,74 | | 24,54 | 4,95 | 2 | 1 | |
| Harmothoe fragilis | 36,27 | 13,10 | | | 2 | 1 | 1 |
| Harmothoe imbricata | 25,53 | 14,00 | | | 2 | 2 | 1 |
| Harmothoe impar | 34,02 | 12,07 | | | 2 | 1 | 1 |
| Harmothoe mariannae | 30,04 | 15,49 | | | | 1 | 1 |
| Harpinia | 27,83 | | 23,03 | 11,27 | 1 | 2 | |
| Harpinia antennaria | 30,63 | 17,47 | 27,75 | 19,57 | 1 | 1 | 1 |
| Harpinia crenulata | 27,06 | 14,03 | 29,45 | 15,41 | 1 | 2 | 1 |
| Harpinia pectinata | 26,76 | 11,94 | 28,60 | 12,72 | 1 | 2 | 1 |
| Harpinia propinquua | 26,05 | 15,45 | | | | 1 | 2 |
| Hauchiella tribullata | 35,45 | 21,39 | 29,65 | 27,72 | 1 | 1 | 1 |
| Hemichordata | | | 29,78 | 17,67 | 0 | | |
| Hemilamprops roseus | 32,41 | 11,39 | 34,14 | 26,86 | 2 | 1 | 1 |
| Hermania scabra | 24,79 | 6,09 | 24,20 | 8,00 | 2 | 3 | 3 |
| Hesionidae | | | 24,52 | 8,18 | | | |
| Heteranomia squamula | 35,82 | 12,23 | | | | 1 | 1 |
| Heteroclymene robusta | 35,01 | 19,00 | 33,44 | 25,71 | 5 | 1 | 1 |
| Heteromastus | | | 18,31 | 6,44 | 4 | | |
| Heteromastus filiformis | 19,67 | 2,13 | 18,47 | 3,76 | 4 | 4 | 4 |
| Hiatella arctica | | | 30,32 | 7,18 | 1 | | |
| Hilbigneris gracilis | 28,90 | 7,83 | 28,42 | 7,83 | 2 | 2 | 2 |
| Hippomedon denticulatus | 33,02 | 16,57 | 32,85 | 14,39 | 1 | 1 | 1 |
| Hippomedon propinquus | | | 24,10 | 17,21 | 1 | | |
| Holothuroidea | | | 27,67 | 16,47 | 1 | | |
| Hyala vitrea | 26,17 | 9,95 | 25,65 | 11,90 | 1 | 2 | 2 |
| Hyalinoecia tubicola | 32,96 | 15,73 | | | 2 | 1 | 1 |
| Hyas coarctatus | 34,13 | 8,76 | | | 1 | 1 | 2 |
| Hydroides norvegica | 35,53 | 4,16 | 33,40 | 13,45 | 3 | 1 | 3 |
| Hydrozoa | | | 25,92 | 10,09 | 1 | | |
| Hypereteone foliosa | 26,22 | 15,75 | | | 3 | 2 | 1 |
| Idotea | 4,30 | 2,06 | | | 2 | 5 | 4 |
| Ilyarachna longicornis | 27,43 | 15,73 | 27,56 | 16,27 | 1 | 2 | 1 |
| Iothia fulva | 37,06 | 25,19 | | | | 1 | 1 |
| Irregularia | | | 31,61 | 11,67 | | | |

| Takson_navn | ES100avg _2018 | ES100min5 _2018 | ES100avg _2012 | ES100min5 _2012 | AMBI EG | NSI "EG" | ISI "EG" |
|------------------------------------|-------------------|--------------------|-------------------|--------------------|------------|-------------|-------------|
| <i>Ischnomesus bispinosus</i> | 34,00 | 19,41 | 30,65 | 22,29 | 1 | 1 | 1 |
| <i>Ischyrocerus megacheir</i> | | | 35,90 | 19,03 | 1 | | |
| <i>Isocirrus planiceps</i> | 33,17 | 20,74 | | | 0 | 1 | 1 |
| <i>Isopoda</i> | | | 32,26 | 19,29 | | | |
| <i>Janira maculosa</i> | 36,99 | 8,69 | 40,58 | 32,27 | 1 | 1 | 2 |
| <i>Jasmineira</i> | | | 23,76 | 6,53 | 2 | | |
| <i>Jasmineira candela</i> | 31,36 | 12,46 | | | 2 | 1 | 1 |
| <i>Jasmineira caudata</i> | 29,19 | 7,97 | 23,86 | 9,85 | 2 | 2 | 2 |
| <i>Kefersteinia cirrhata</i> | | | 25,72 | 9,77 | 2 | | |
| <i>Kellia suborbicularis</i> | 33,75 | 18,18 | | | 1 | 1 | 1 |
| <i>Kelliella miliaris</i> | 24,74 | 6,90 | 20,83 | 10,95 | 1 | 3 | 2 |
| <i>Kirkegaardia serrata</i> | 24,08 | 15,21 | 20,53 | 15,21 | 3 | 3 | 1 |
| <i>Kophobelemnnon stelliferum</i> | | | 25,94 | 15,96 | 1 | | |
| <i>Kurtiella bidentata</i> | 17,82 | 3,05 | 14,32 | 4,43 | 3 | 4 | 4 |
| <i>Kurtiella tumidula</i> | 28,72 | 9,85 | 27,95 | 18,98 | 3 | 2 | 2 |
| <i>Labidoplax buskii</i> | 28,63 | 5,00 | 25,54 | 6,74 | 1 | 2 | 3 |
| <i>Laetmatophilus tuberculatus</i> | | | 28,82 | 17,82 | 1 | | |
| <i>Laetmonice filicornis</i> | 31,61 | 15,38 | | | 2 | 1 | 1 |
| <i>Lagis koreni</i> | 20,66 | 2,27 | 16,26 | 3,63 | 4 | 3 | 4 |
| <i>Lamispina falcata</i> | 29,64 | 7,16 | | | 1 | 1 | 2 |
| <i>Lanassa nordenskioldi</i> | 35,35 | 14,82 | | | | 1 | 1 |
| <i>Lanassa venusta</i> | 27,82 | 9,70 | 27,15 | 10,99 | 1 | 2 | 2 |
| <i>Lanice conchilega</i> | 32,46 | 19,44 | | | 2 | 1 | 1 |
| <i>Laona quadrata</i> | 23,77 | 10,11 | 23,29 | 9,60 | 2 | 3 | 2 |
| <i>Laonice</i> | | | 30,00 | 14,46 | 3 | | |
| <i>Laonice bahusiensis</i> | 34,19 | 13,72 | 34,03 | 25,19 | 3 | 1 | 1 |
| <i>Laonice cirrata</i> | 33,03 | 10,02 | 29,55 | 10,24 | 2 | 1 | 2 |
| <i>Laonice sarsi</i> | 29,99 | 7,15 | 33,66 | 23,49 | 3 | 1 | 2 |
| <i>Laonome kroyeri</i> | 20,45 | 10,32 | | | 2 | 3 | 2 |
| <i>Laphania boecki</i> | 28,41 | 12,30 | 26,20 | 14,76 | 2 | 2 | 1 |
| <i>Leaena ebranchiata</i> | 33,42 | 14,38 | | | 1 | 1 | 1 |
| <i>Leitoscoloplos acutus</i> | 29,25 | 10,79 | | | 1 | 2 | 2 |
| <i>Leitoscoloplos mammosus</i> | 15,98 | 9,84 | | | 4 | 4 | 2 |
| <i>Lepeta caeca</i> | 36,36 | 17,97 | | | 1 | 1 | 1 |
| <i>Leptanthura tenuis</i> | | | 28,40 | 22,08 | 1 | | |
| <i>Leptaxinus minutus</i> | 23,02 | 12,14 | | | | 3 | 1 |
| <i>Leptochiton asellus</i> | | | 33,07 | 16,30 | 1 | | |
| <i>Leptopentacta elongata</i> | 27,01 | 13,45 | 27,22 | 13,45 | 1 | 2 | 1 |
| <i>Leptophoxus falcatus</i> | 27,88 | 16,00 | 25,76 | 16,32 | 2 | 2 | 1 |
| <i>Leptostylis</i> | 33,21 | 13,53 | 28,91 | 16,23 | 2 | 1 | 1 |
| <i>Leptostylis longimana</i> | 30,00 | 14,61 | 29,89 | 17,55 | 2 | 1 | 1 |
| <i>Leptostylis villosa</i> | | | 29,38 | 22,71 | 2 | | |

| Takson_navn | ES100avg _2018 | ES100min5 _2018 | ES100avg _2012 | ES100min5 _2012 | AMBI EG | NSI "EG" | ISI "EG" |
|-----------------------------|-------------------|--------------------|-------------------|--------------------|------------|-------------|-------------|
| Leptosynapta | 30,26 | | 26,91 | 7,83 | 1 | 1 | |
| Leptosynapta bergensis | 28,40 | 14,46 | | | 1 | 2 | 1 |
| Leptosynapta decaria | 35,09 | 17,45 | | | 1 | 1 | 1 |
| Leptosynapta inhaerens | 25,90 | 10,96 | | | 1 | 2 | 2 |
| Leucon (Leucon) nasica | 24,13 | 8,81 | 22,99 | 8,93 | 2 | 3 | 2 |
| Leucothoe lilljeborgi | 29,44 | 11,51 | 29,29 | 16,24 | 1 | 2 | 1 |
| Levinsenia gracilis | 28,00 | 3,33 | 23,62 | 8,54 | 3 | 2 | 3 |
| Liljeborgia fissicornis | | | 30,08 | 22,37 | 1 | | |
| Liljeborgia macronyx | 28,10 | 14,59 | 26,28 | 14,63 | 1 | 2 | 1 |
| Liljeborgia pallida | 37,28 | 15,68 | 36,93 | 28,07 | 1 | 1 | 1 |
| Limaria loscombi | 37,00 | 23,61 | | | 1 | 1 | 1 |
| Limatula | 35,20 | 11,63 | | | | 1 | 1 |
| Limatula gwyni | 33,59 | 15,08 | 32,22 | 16,72 | 1 | 1 | 1 |
| Limatula subauriculata | | | 32,92 | 17,58 | 1 | | |
| Limecola balthica | | | 10,41 | 7,95 | 3 | | |
| Liocarcinus depurator | | | 30,47 | 16,12 | 1 | | |
| Liocarcinus pusillus | | | 27,49 | 14,38 | 1 | | |
| Lipobranchius jeffreysii | 27,65 | 4,56 | | | 3 | 2 | 3 |
| Lucinoma borealis | 28,88 | 2,16 | 28,21 | 6,16 | 1 | 2 | 4 |
| Lumbriclymene cylindricauda | 34,80 | 13,10 | | | 3 | 1 | 1 |
| Lumbrineridae | | | 23,81 | 17,03 | | | |
| Lumbrineris | 24,83 | 4,26 | 23,96 | 7,42 | 2 | 3 | 3 |
| Lumbrineris aniara | 28,43 | 13,30 | 28,01 | 13,31 | 2 | 2 | 1 |
| Lumbrineris cingulata | 27,64 | 12,70 | | | 2 | 2 | 1 |
| Lumbrineris mixochaeta | 18,59 | 9,28 | 16,19 | 11,66 | 2 | 4 | 2 |
| Lyonsia norwegica | 36,14 | 14,91 | | | 1 | 1 | 1 |
| Lysianassidae | 31,86 | 3,80 | 29,05 | 9,97 | 1 | 1 | 3 |
| Lysilla loveni | 29,84 | 14,81 | 30,80 | 16,68 | 2 | 1 | 1 |
| Lysippe fragilis | 38,69 | 17,74 | | | 1 | 1 | 1 |
| Lysippe labiata | 27,90 | 18,00 | 23,97 | 18,37 | 3 | 2 | 1 |
| Macandrevia cranium | 37,35 | 22,12 | | | 1 | 1 | 1 |
| Macoma calcarea | 21,11 | 3,21 | 17,38 | 4,92 | 2 | 3 | 3 |
| Macrochaeta | | | 21,14 | 8,48 | 2 | | |
| Macrochaeta clavicornis | 29,19 | 7,21 | 30,36 | 14,51 | 2 | 2 | 2 |
| Macrochaeta polyonyx | 31,70 | 14,40 | | | 2 | 1 | 1 |
| Macrocypris minna | 29,38 | 13,45 | 33,00 | 14,25 | 1 | 2 | 1 |
| Maera loveni | | | 33,81 | 21,75 | 1 | | |
| Magelona | | | 30,15 | 20,24 | 1 | | |
| Magelona alleni | 30,02 | 13,27 | 26,94 | 15,08 | 1 | 1 | 1 |
| Magelona minuta | 27,55 | 11,55 | 24,60 | 12,31 | 1 | 2 | 1 |
| Magelona papillicornis | | | 26,34 | 19,55 | 1 | | |
| Malacoceros fuliginosus | | | 4,68 | 2,34 | 5 | | |

| Takson_navn | ES100avg _2018 | ES100min5 _2018 | ES100avg _2012 | ES100min5 _2012 | AMBI EG | NSI "EG" | ISI "EG" |
|------------------------|-------------------|--------------------|-------------------|--------------------|------------|-------------|-------------|
| Malacoceros vulgaris | 4,10 | 1,14 | | | 5 | 5 | 5 |
| Maldane sarsi | 19,74 | 5,10 | 18,03 | 5,61 | 2 | 4 | 3 |
| Maldanidae | | | 27,04 | 10,61 | 1 | | |
| Malletia obtusa | 24,01 | 16,53 | | | 1 | 3 | 1 |
| Malmgrenia mcintoshii | 34,12 | 14,10 | | | 2 | 1 | 1 |
| Mediomastus | | | 18,95 | 9,34 | 3 | | |
| Mediomastus fragilis | 18,51 | 2,88 | 12,21 | 5,27 | 3 | 4 | 4 |
| Melinna albicincta | 35,00 | 9,18 | | | | 1 | 2 |
| Melinna cristata | 24,91 | 6,92 | 24,89 | 7,10 | 3 | 3 | 2 |
| Melinna elisabethae | 32,36 | 10,10 | 23,94 | 13,01 | 3 | 1 | 2 |
| Mendicula ferruginosa | 30,91 | 8,39 | 27,74 | 8,70 | 2 | 1 | 2 |
| Mendicula ockelmanni | 26,82 | 15,06 | | | | 2 | 1 |
| Mendicula pygmaea | 23,89 | 10,44 | 23,79 | 10,41 | 1 | 3 | 2 |
| Microclymene acirrata | 27,23 | 13,87 | | | 1 | 2 | 1 |
| Microdeutopus | 29,66 | 9,05 | 27,82 | 12,69 | 1 | 1 | 2 |
| Microphthalmus | 9,39 | 3,03 | | | 2 | 5 | 4 |
| Modiolula phaseolina | 30,78 | 4,59 | 36,58 | 15,90 | 1 | 1 | 3 |
| Modiolus | | | 28,65 | 7,36 | 1 | | |
| Modiolus modiolus | 34,10 | 6,83 | 29,18 | 7,81 | 2 | 1 | 2 |
| Monoculodes | | | 33,01 | 17,12 | 1 | | |
| Monoculodes packardi | 20,23 | 10,43 | 23,14 | 11,35 | 1 | 3 | 2 |
| Montacuta substriata | | | 30,35 | 17,59 | 2 | | |
| Musculus discors | 32,06 | 11,56 | | | 1 | 1 | 1 |
| Musculus niger | 32,43 | 13,27 | 30,26 | 16,55 | 1 | 1 | 1 |
| Mya | | | 20,36 | 7,72 | 2 | | |
| Mya arenaria | 19,50 | 4,43 | 14,31 | 4,58 | 2 | 4 | 3 |
| Mya truncata | 25,97 | 7,61 | 22,23 | 14,42 | 2 | 2 | 2 |
| Myriochele | | | 26,28 | 9,42 | 3 | | |
| Myriochele danielsseni | 30,18 | 11,61 | | | 3 | 1 | 1 |
| Myriochele heeri | 25,99 | 9,49 | 19,44 | 12,23 | 3 | 2 | 2 |
| Myriochele olgae | 19,36 | 12,77 | | | 2 | 4 | 1 |
| Myrtea spinifera | 29,85 | 2,85 | 27,23 | 8,15 | 2 | 1 | 4 |
| Mysia undata | 27,93 | 14,49 | 26,19 | 15,18 | 1 | 2 | 1 |
| Mytilidae | | | 20,24 | 10,71 | | | |
| Mytilus edulis | | | 13,72 | 6,69 | 3 | | |
| Naineris quadricuspida | 10,89 | 4,01 | | | 1 | 4 | 3 |
| Natatalana borealis | 34,86 | 11,02 | 34,57 | 16,81 | 2 | 1 | 1 |
| Nebalia | 15,58 | 3,07 | 8,13 | 9,40 | 5 | 4 | 4 |
| Nebalia bipes | 16,95 | 3,19 | 16,75 | 5,71 | 5 | 4 | 3 |
| Nebalia borealis | 13,03 | 3,00 | | | | 4 | 4 |
| Nemertea | 23,39 | 2,11 | 21,93 | 4,25 | 3 | 3 | 4 |
| Neoamphitrite grayi | 20,18 | 11,62 | 21,85 | 11,98 | 1 | 3 | 1 |

| Takson_navn | ES100avg _2018 | ES100min5 _2018 | ES100avg _2012 | ES100min5 _2012 | AMBI EG | NSI "EG" | ISI "EG" |
|--|-------------------|--------------------|-------------------|--------------------|------------|-------------|-------------|
| <i>Neohela monstrosa</i> | 29,11 | 15,11 | 26,99 | 15,11 | 1 | 2 | 1 |
| <i>Neoleanira tetragona</i> | 22,73 | 8,24 | 20,73 | 8,56 | 2 | 3 | 2 |
| <i>Nephasoma (Nephasoma) minutum</i> | 27,53 | 9,31 | | | 1 | 2 | 2 |
| <i>Nephtys</i> | 28,13 | 7,91 | 25,18 | 6,71 | 2 | 2 | 2 |
| <i>Nephtys assimilis</i> | 26,31 | 6,95 | | | 2 | 2 | 2 |
| <i>Nephtys caeca</i> | 30,23 | 5,98 | 26,86 | 11,40 | 2 | 1 | 3 |
| <i>Nephtys ciliata</i> | 24,47 | 6,40 | 21,70 | 6,56 | 2 | 3 | 3 |
| <i>Nephtys cirrosa</i> | | | 25,58 | 16,59 | 2 | | |
| <i>Nephtys hombergii</i> | 27,95 | 8,59 | 26,29 | 7,98 | 2 | 2 | 2 |
| <i>Nephtys hystricis</i> | 29,88 | 7,34 | 26,16 | 9,09 | 2 | 1 | 2 |
| <i>Nephtys incisa</i> | 28,25 | 11,39 | 28,49 | 11,19 | 2 | 2 | 1 |
| <i>Nephtys kersivalensis</i> | 28,78 | 12,47 | | | 2 | 2 | 1 |
| <i>Nephtys longosetosa</i> | 29,83 | 7,25 | 26,68 | 12,44 | 2 | 1 | 2 |
| <i>Nephtys paradoxa</i> | 26,08 | 7,11 | 24,04 | 8,96 | 2 | 2 | 2 |
| <i>Nephtys pente</i> | 29,26 | 8,40 | | | 2 | 2 | 2 |
| <i>Nereimyra punctata</i> | 26,47 | 2,93 | 18,26 | 5,71 | 3 | 2 | 4 |
| <i>Nereimyra woodsholea</i> | 27,33 | 9,24 | | | | 2 | 2 |
| <i>Nereiphylla lutea</i> | 35,15 | 17,45 | | | 2 | 1 | 1 |
| <i>Nereis</i> | | | 5,43 | 3,25 | 3 | | |
| <i>Nereis pelagica</i> | 33,67 | 4,10 | | | 3 | 1 | 3 |
| <i>Nereis zonata</i> | 40,96 | 16,77 | | | 3 | 1 | 1 |
| <i>Nicippe tumida</i> | 32,80 | 11,39 | 30,99 | 13,29 | 1 | 1 | 1 |
| <i>Nicomache</i> | | | 33,55 | 17,69 | 2 | | |
| <i>Nicomache lumbricalis</i> | 32,16 | 10,45 | 26,34 | 14,88 | 2 | 1 | 2 |
| <i>Nothria conchylega</i> | 36,67 | 11,16 | 33,25 | 12,95 | 2 | 1 | 1 |
| <i>Nothria hyperborea</i> | 36,67 | 11,16 | | | 2 | 1 | 1 |
| <i>Notomastus latericeus</i> | 30,39 | 4,01 | 30,21 | 9,11 | 3 | 1 | 3 |
| <i>Notoproctus</i> | 34,93 | 19,02 | | | 2 | 1 | 1 |
| <i>Nototropis nordlandicus</i> | 37,14 | 13,03 | | | 1 | 1 | |
| <i>Nototropis vedlomensis</i> | 34,41 | 5,81 | 30,21 | 17,38 | 1 | 1 | 3 |
| <i>Nucula</i> | | | 24,07 | 13,09 | 1 | | |
| <i>Nucula hanleyi</i> | | | 22,14 | 17,15 | 1 | | |
| <i>Nucula nitidosa</i> | 21,60 | 9,30 | 22,30 | 9,30 | 1 | 3 | 2 |
| <i>Nucula nucleus</i> | 29,70 | 10,44 | | | 1 | 1 | 2 |
| <i>Nucula sulcata</i> | 28,30 | 11,82 | 26,08 | 11,87 | 1 | 2 | 1 |
| <i>Nucula tumidula</i> | 27,36 | 6,97 | 27,11 | 11,24 | 1 | 2 | 2 |
| <i>Nucula turgida</i> | 26,22 | 12,76 | 25,70 | 12,76 | 1 | 2 | 1 |
| <i>Nuculana minuta</i> | 30,73 | 9,24 | 27,71 | 10,24 | 1 | 1 | 2 |
| <i>Nuculana pernula</i> | 31,68 | 10,21 | 23,36 | 11,93 | 1 | 1 | 2 |
| <i>Nudibranchia</i> | | | 22,47 | 10,03 | | | |
| <i>Octobranchus floriceps</i> | 35,90 | 23,39 | | | 2 | 1 | 1 |
| <i>Oediceropsis brevicornis</i> | 31,85 | 14,80 | | | 0 | 1 | 1 |

| Takson_navn | ES100avg _2018 | ES100min5 _2018 | ES100avg _2012 | ES100min5 _2012 | AMBI EG | NSI "EG" | ISI "EG" |
|---|-------------------|--------------------|-------------------|--------------------|------------|-------------|-------------|
| Oenopota | 31,88 | 12,06 | | | 1 | 1 | 1 |
| Oligochaeta | 11,20 | 1,75 | 8,51 | 2,41 | 5 | 4 | 5 |
| Onchnesoma squamatum | 34,37 | 18,32 | 33,09 | 23,50 | 1 | 1 | 1 |
| Onchnesoma steenstrupii steenstrupii | 28,65 | 4,21 | 29,06 | 11,57 | 1 | 2 | 3 |
| Ophelia limacina | | | 32,40 | 21,97 | 1 | | |
| Ophelina | | | 22,29 | 6,95 | 0 | | |
| Ophelina acuminata | 23,71 | 4,40 | 23,71 | 6,87 | 3 | 3 | 3 |
| Ophelina cylindricaudata | 31,16 | 11,49 | 27,92 | 11,95 | 1 | 1 | 1 |
| Ophelina minima | 23,59 | 14,85 | 23,43 | 14,85 | 1 | 3 | 1 |
| Ophelina modesta | 20,76 | 9,62 | 21,25 | 10,97 | 3 | 3 | 2 |
| Ophelina norvegica | 23,99 | 10,70 | 23,94 | 10,67 | 1 | 3 | 2 |
| Ophiacantha bidentata | | | 32,81 | 25,72 | 2 | | |
| Ophiocten affinis | 27,02 | 5,78 | 22,11 | 9,75 | 2 | 2 | 3 |
| Ophiocten sericeum | | | 19,30 | 11,26 | 2 | | |
| Ophiodolos aculeata | 35,36 | 7,20 | 28,41 | 19,86 | 2 | 1 | 2 |
| Ophiura | 29,58 | 9,74 | 27,14 | 5,12 | 2 | 2 | 2 |
| Ophiura (Dictenophiura) carnea | 29,85 | 10,10 | | | 2 | 1 | 2 |
| Ophiura albida | 27,90 | 9,29 | 24,27 | 12,01 | 2 | 2 | 2 |
| Ophiura ophiura | 27,90 | 13,80 | | | 2 | 2 | 1 |
| Ophiura robusta | 32,27 | 11,04 | 27,21 | 14,23 | 2 | 1 | 1 |
| Ophiura sarsii | 30,88 | 10,08 | 23,12 | 10,08 | 2 | 1 | 2 |
| Ophiurida | | | 27,81 | 15,53 | | | |
| Ophiuroidea | | | 26,19 | 7,41 | 2 | | |
| Ophryotrocha | 9,84 | 1,93 | 14,11 | 7,50 | 4 | 4 | 4 |
| Ophryotrocha puerilis | | | 14,11 | 7,50 | 4 | | |
| Orbinia sertulata | 27,13 | 17,98 | 26,11 | 19,08 | 1 | 2 | 1 |
| Ostracoda | | | 24,69 | 11,57 | 0 | | |
| Owenia | 25,91 | 6,61 | | | 1 | 2 | 2 |
| Owenia borealis | 25,55 | 4,11 | | | | 2 | 3 |
| Owenia fusiformis | 25,55 | 4,11 | 24,54 | 8,35 | 2 | 3 | 3 |
| Owenia polaris | 19,05 | 11,76 | | | 1 | 4 | 1 |
| Oweniidae | | | 18,84 | 8,70 | 0 | | |
| Oxydromus flexuosus | 21,15 | 2,72 | 18,93 | 3,73 | 2 | 3 | 4 |
| Paguridae | | | 29,67 | 15,96 | | | |
| Pagurus bernhardus | | | 25,25 | 13,62 | 2 | | |
| Palliolum tigerinum | 37,52 | 20,51 | | | 1 | 1 | 1 |
| Panningia hyndmani | 38,12 | 18,09 | | | 1 | 1 | 1 |
| Paradiopatra fiordica | 27,35 | 7,79 | 22,73 | 10,72 | 1 | 2 | 2 |
| Paradiopatra quadricuspis | 30,34 | 11,15 | 30,08 | 11,72 | 1 | 1 | 1 |
| Paradoneis | 25,24 | | | | 3 | 2 | |
| Paradoneis eliasi | 23,38 | 8,02 | 24,82 | 11,21 | 3 | 3 | 2 |

| Takson_navn | ES100avg _2018 | ES100min5 _2018 | ES100avg _2012 | ES100min5 _2012 | AMBI EG | NSI "EG" | ISI "EG" |
|--|-------------------|--------------------|-------------------|--------------------|------------|-------------|-------------|
| Paradoneis lyra | 26,70 | 3,12 | 24,83 | 8,30 | 3 | 2 | 3 |
| Paraedwardsia arenaria | 27,99 | 8,90 | 20,72 | 12,08 | 2 | 2 | 2 |
| Paramphinome jeffreysii | 22,82 | 1,85 | 20,83 | 5,99 | 3 | 3 | 5 |
| Paramphitrite birulai | 33,53 | 13,11 | | | 1 | 1 | 1 |
| Paramphitrite tetrabranchia | 33,53 | 13,11 | 30,33 | 13,42 | 1 | 1 | 1 |
| Paraonis | 28,30 | | | | 3 | 2 | |
| Paraonis fulgens | 27,48 | 6,19 | 25,03 | 10,47 | 3 | 2 | 3 |
| Paraphoxus oculatus | 31,30 | 12,67 | 24,73 | 14,51 | 2 | 1 | 1 |
| Pardalisca tenuipes | 29,60 | 15,09 | 27,68 | 14,99 | 1 | 2 | 1 |
| Parexogone hebes | 31,20 | 3,79 | 31,56 | 14,99 | 2 | 1 | 3 |
| Paroedicerus propinquus | 22,83 | 12,53 | | | 3 | 1 | |
| Parvicardium exiguum | | | 18,58 | 9,62 | 1 | | |
| Parvicardium minimum | 31,30 | 7,93 | 29,01 | 10,09 | 1 | 1 | 2 |
| Parvicardium pinnulatum | 30,10 | 8,25 | 20,70 | 10,47 | 1 | 1 | 2 |
| Pectinaria | | | 31,41 | 12,61 | 1 | | |
| Pectinaria belgica | 25,67 | 3,45 | 25,96 | 10,49 | 1 | 2 | 3 |
| Pennatula phosphorea | 30,70 | 20,24 | 28,52 | 20,82 | 1 | 1 | 1 |
| Periocolodes longimanus | 23,37 | 11,40 | 25,06 | 16,98 | 2 | 3 | 1 |
| Petaloprotus tenuis | 36,56 | 13,46 | | | 2 | 1 | 1 |
| Phascolion (Phascolion) strombus strombus | 31,44 | 4,73 | | | 2 | 1 | 3 |
| Phascolion strombi | | | 26,76 | 10,15 | | | |
| Phaxas pellucidus | 26,01 | 6,27 | 24,26 | 9,49 | 1 | 2 | 3 |
| Pherusa | | | 26,22 | 12,93 | 1 | | |
| Pherusa plumosa | 26,08 | 6,26 | 20,95 | 9,50 | 3 | 2 | 3 |
| Philine | | | 23,42 | 9,49 | 2 | | |
| Philine quadripartita | 24,16 | 14,47 | 23,08 | 14,47 | 2 | 3 | 1 |
| Philocheras bispinosus | | | 25,75 | 14,57 | 1 | | |
| Philomedes (Philomedes) lilljeborgi | 29,20 | 11,31 | 25,54 | 11,24 | 2 | 2 | 1 |
| Philomedes globosus | 29,92 | 7,71 | 27,56 | 9,31 | 2 | 1 | 2 |
| Phisidia aurea | 36,88 | 18,46 | 32,78 | 18,39 | 1 | 1 | 1 |
| Pholoe | 25,96 | 4,50 | 25,64 | 7,16 | 2 | 2 | 3 |
| Pholoe anoculata | 30,88 | 13,49 | 28,55 | 13,49 | 1 | 1 | 1 |
| Pholoe assimilis | 25,45 | 6,07 | 22,02 | 7,83 | 1 | 2 | 3 |
| Pholoe baltica | 26,44 | 2,29 | 21,28 | 5,51 | 1 | 2 | 4 |
| Pholoe inornata | 25,57 | 3,35 | 19,26 | 9,22 | 2 | 2 | 3 |
| Pholoe minuta | | | 23,02 | 3,86 | 2 | | |
| Pholoe pallida | 27,72 | 6,34 | 29,07 | 12,77 | 1 | 2 | 3 |
| Phoronis | 30,47 | | 30,41 | 17,40 | 2 | 1 | |
| Phoronis muelleri | 30,06 | 8,98 | 26,35 | 9,78 | 2 | 1 | 2 |
| Phyllodoce | | | 20,70 | 4,50 | 2 | | |
| Phyllodoce groenlandica | 24,52 | 2,53 | 21,79 | 3,47 | 4 | 3 | 4 |

| Takson_navn | ES100avg _2018 | ES100min5 _2018 | ES100avg _2012 | ES100min5 _2012 | AMBI EG | NSI "EG" | ISI "EG" |
|----------------------------|-------------------|--------------------|-------------------|--------------------|------------|-------------|-------------|
| Phyllodoce maculata | 18,03 | 5,02 | 18,10 | 6,83 | 2 | 4 | 3 |
| Phyllodoce mucosa | 13,50 | 1,89 | 10,40 | 5,68 | 3 | 4 | 5 |
| Phyllodoce rosea | 26,30 | 7,12 | 27,50 | 8,34 | 2 | 2 | 2 |
| Phyllodocidae | | | 24,95 | 5,78 | | | |
| Phyllodocinae | | | 20,56 | 7,36 | | | |
| Phylo norvegicus | | | 24,33 | 9,53 | 1 | | |
| Phylo norvegicus kompleks | 22,34 | 7,77 | | | 1 | 3 | 2 |
| Pilargis papillata | 27,33 | 17,61 | 25,71 | 17,91 | | 2 | 1 |
| Pistone remota | 30,17 | 17,07 | 31,33 | 20,79 | 1 | 1 | 1 |
| Pista cristata | 28,55 | 9,61 | 26,97 | 9,14 | 1 | 2 | 2 |
| Pista lornensis | 27,57 | 6,64 | 26,23 | 6,05 | 1 | 2 | 2 |
| Pista mediterranea | 31,63 | 8,53 | | | | 1 | 2 |
| Placostegus tridentatus | 35,51 | 24,79 | | | 1 | 1 | 1 |
| Platynereis dumerilii | 25,14 | 6,99 | 21,55 | 8,11 | 3 | 2 | 2 |
| Podarkeopsis helgolandicus | | | 23,82 | 16,25 | 2 | | |
| Poecilochaetus serpens | 34,64 | 15,29 | | | 1 | 1 | 1 |
| Polychaeta | | | 28,96 | 12,52 | | | |
| Polycirrus | 30,84 | | 30,52 | 10,05 | 4 | 1 | |
| Polycirrus arcticus | 31,21 | 16,33 | 23,05 | 17,97 | | 1 | 1 |
| Polycirrus medusa | 32,98 | 6,19 | 30,13 | 13,97 | 4 | 1 | 3 |
| Polycirrus norvegicus | 28,59 | 4,52 | 18,71 | 13,42 | 4 | 2 | 3 |
| Polycirrus plumosus | 29,02 | 7,48 | 26,54 | 9,34 | 4 | 2 | 2 |
| Polydora | | | 13,54 | 5,63 | 4 | | |
| Polydora ciliata | 7,63 | 2,67 | 6,95 | 2,86 | 4 | 5 | 4 |
| Polynoidae | | | 23,47 | 11,01 | 0 | | |
| Polyphysia crassa | 19,89 | 4,93 | 19,19 | 4,93 | 3 | 4 | 3 |
| Polyplacophora | | | 31,19 | 16,64 | | | |
| Pontophilus norvegicus | 28,63 | 14,66 | 24,67 | 14,61 | 1 | 2 | 1 |
| Porifera | | | 35,63 | 23,49 | | | |
| Potamilla neglecta | 37,21 | 20,21 | | | 2 | 1 | 1 |
| Praxillella affinis | 30,46 | 9,13 | 29,35 | 17,49 | 3 | 1 | 2 |
| Praxillella gracilis | 23,10 | 8,93 | 18,68 | 13,49 | 3 | 3 | 2 |
| Praxillella praetermissa | 28,25 | 7,88 | 25,66 | 9,36 | 3 | 2 | 2 |
| Praxillura longissima | 34,72 | 16,08 | 34,25 | 22,50 | 3 | 1 | 1 |
| Priapulus caudatus | 22,66 | 5,54 | 21,50 | 6,56 | 3 | 3 | 3 |
| Prionospio | | | 21,95 | 8,54 | 0 | | |
| Prionospio cirrifera | 23,93 | 3,16 | 21,89 | 6,65 | 4 | 3 | 3 |
| Prionospio dubia | 29,30 | 10,22 | 27,80 | 19,09 | 2 | 2 | 2 |
| Prionospio fallax | 24,15 | 2,98 | 23,83 | 4,10 | 4 | 3 | 4 |
| Prionospio multibranchiata | 29,38 | 11,95 | 27,58 | 13,01 | 3 | 2 | 1 |
| Prionospio plumosa | 12,74 | 1,43 | | | | 4 | 5 |
| Prionospio steenstrupi | 10,25 | 1,90 | 23,82 | 11,16 | 4 | 4 | 5 |

| Takson_navn | ES100avg _2018 | ES100min5 _2018 | ES100avg _2012 | ES100min5 _2012 | AMBI EG | NSI "EG" | ISI "EG" |
|---|-------------------|--------------------|-------------------|--------------------|------------|-------------|-------------|
| Processa canaliculata | | | 27,60 | 20,72 | 1 | | |
| Proclea graffii | 26,68 | 8,90 | 24,28 | 9,64 | 1 | 2 | 2 |
| Proclea malmgreni | | | 26,53 | 17,71 | | | |
| Prosobranchia | | | 29,01 | 10,15 | | | |
| Protodorvillea kefersteini | 22,44 | 2,50 | 15,99 | 4,02 | 2 | 3 | 4 |
| Protomediea fasciata | 30,76 | 7,89 | 16,95 | 12,97 | 2 | 1 | 2 |
| Protomystides exigua | 31,90 | 9,95 | | | 2 | 1 | 2 |
| Psamathe fusca | 30,30 | 5,02 | | | 2 | 1 | 3 |
| Pseudamussium peslutrae | 27,66 | 13,36 | 28,60 | 15,87 | 2 | 2 | 1 |
| Pseudomystides limbata | 34,41 | 17,79 | | | 2 | 1 | 1 |
| Pseudopolydora | | | 11,91 | 5,26 | 4 | | |
| Pseudopolydora aff. paucibranchiata | 20,09 | 2,85 | 17,80 | 8,55 | 4 | 4 | 4 |
| Pseudopolydora antennata | 22,89 | 3,94 | 20,33 | 6,44 | 4 | 3 | 3 |
| Pseudopolydora pulchra | 23,51 | 4,97 | 11,61 | 9,88 | 4 | 3 | 3 |
| Pseudosphyrapus anomalus | 30,94 | 20,45 | 27,41 | 20,45 | 3 | 1 | 1 |
| Pseudothyone raphanus | 35,97 | 15,52 | | | 1 | 1 | 1 |
| Psolus | 39,91 | 22,31 | | | 2 | 1 | 1 |
| Pulsellum lofotense | 31,81 | 13,07 | | | 1 | 1 | 1 |
| Puncturella noachina | 38,60 | 16,08 | | | 1 | 1 | 1 |
| Pycnogonida | | | 28,65 | 12,00 | 2 | | |
| Raricirrus beryli | 15,75 | 4,90 | 15,06 | 6,23 | 0 | 4 | 3 |
| Regularia | | | 36,13 | 27,97 | | | |
| Retusa umbilicata | 28,31 | 7,78 | 14,30 | 11,58 | 2 | 2 | 2 |
| Rhodine | | | 28,18 | 13,82 | 2 | | |
| Rhodine gracilior | 29,89 | 10,56 | 29,16 | 12,09 | 1 | 1 | 2 |
| Rhodine loveni | 28,10 | 8,09 | 26,68 | 9,37 | 2 | 2 | 2 |
| Sabella pavonina | 30,16 | 11,21 | | | 1 | 1 | 1 |
| Sabellidae | | | 24,56 | 5,42 | 1 | | |
| Samytha sexcirrata | 34,41 | 11,48 | 32,28 | 12,56 | 1 | 1 | 1 |
| Sarsinebalia typhlops | 29,53 | 11,87 | | | 2 | 2 | 1 |
| Scalibregma inflatum | 21,93 | 2,57 | 21,61 | 5,43 | 3 | 3 | 4 |
| Scalibregmatidae | | | 27,49 | 14,69 | | | |
| Scaphander punctostriatus | | | 31,73 | 21,75 | 1 | | |
| Scaphopoda | | | 23,48 | 14,42 | | | |
| Schistomerigos | 29,30 | 8,81 | 29,66 | 12,30 | 2 | 2 | 2 |
| Scolelepis | 27,77 | | 28,12 | 10,63 | 3 | 2 | |
| Scolelepis (Parascolelepis) tridentata | 25,97 | 10,47 | 23,07 | 9,66 | 3 | 2 | 2 |
| Scolelepis (Scolelepis) foliosa | 30,34 | 12,23 | 29,51 | 14,38 | 3 | 1 | 1 |
| Scolelepis (Scolelepis) squamata | | | 28,60 | 18,37 | 3 | | |

| Takson_navn | ES100avg _2018 | ES100min5 _2018 | ES100avg _2012 | ES100min5 _2012 | AMBI EG | NSI "EG" | ISI "EG" |
|-----------------------------------|-------------------|--------------------|-------------------|--------------------|------------|-------------|-------------|
| Scolelepis korsuni | 28,16 | 9,98 | 28,58 | 19,75 | 3 | 2 | 2 |
| Scoletoma fragilis | 26,19 | 7,37 | 23,41 | 7,37 | 2 | 2 | 2 |
| Scoloplos armiger | 21,89 | 1,91 | 19,94 | 6,34 | 3 | 3 | 4 |
| Scutopus ventrolineatus | 30,10 | 7,14 | 24,32 | 13,86 | 1 | 1 | 2 |
| Siboglinidae | 29,89 | 10,34 | 30,23 | 15,58 | 1 | 1 | 2 |
| Sige fusigera | 28,12 | 3,81 | 20,39 | 8,70 | 3 | 2 | 3 |
| Similipecten similis | 36,30 | 11,44 | 34,55 | 23,59 | 1 | 1 | 1 |
| Siphonodentalium lobatum | 23,75 | 15,00 | | | 2 | 3 | 1 |
| Sipuncula | | | 23,57 | 8,51 | 1 | | |
| Sosane sulcata | 33,52 | 11,12 | 31,49 | 10,60 | 2 | 1 | 1 |
| Sosane wahrbergi | 27,85 | 8,78 | 25,94 | 8,44 | 2 | 2 | 2 |
| Sosane wireni | 34,03 | 9,24 | 31,29 | 9,93 | 1 | 1 | 2 |
| Spatangus purpureus | 32,16 | 14,52 | 31,67 | 16,63 | 1 | 1 | 1 |
| Sphaerodordium minutum | 22,87 | 13,55 | | | 2 | 3 | 1 |
| Sphaerodorum | | | 24,95 | 15,71 | 2 | | |
| Sphaerodorum gracilis | 29,63 | 7,30 | 26,53 | 7,30 | 2 | 1 | 2 |
| Sphaerosyllis hystrix | 34,59 | 9,49 | 36,13 | 17,41 | 2 | 1 | 2 |
| Spio | | | 23,22 | 11,31 | | | |
| Spio armata | 34,90 | 16,02 | | | 3 | 1 | 1 |
| Spio decorata | 33,08 | 12,09 | | | 3 | 1 | 1 |
| Spio filicornis | 20,53 | 3,48 | 19,97 | 8,14 | 3 | 3 | 3 |
| Spio limicola | 27,64 | 8,23 | | | 3 | 2 | 2 |
| Spiochaetopterus bergensis | 24,57 | 11,13 | | | | 3 | 1 |
| Spiochaetopterus typicus | 19,69 | 5,27 | 17,76 | 5,52 | 3 | 4 | 3 |
| Spionidae | | | 22,05 | 6,46 | 3 | | |
| Spiophanes | | | 30,11 | 17,22 | 3 | | |
| Spiophanes bombyx | 27,79 | 5,05 | 23,37 | 12,33 | 3 | 2 | 3 |
| Spiophanes kroyeri | 23,18 | 4,97 | 20,87 | 5,63 | 3 | 3 | 3 |
| Spiophanes wigleyi | 29,35 | 8,73 | 33,91 | 9,44 | 3 | 2 | 2 |
| Spirobranchus triqueter | 34,65 | 14,71 | | | 2 | 1 | 1 |
| Spisula elliptica | 35,77 | 13,26 | | | 1 | 1 | 1 |
| Sthenelais | | | 29,10 | 13,88 | 2 | | |
| Sthenelais limicola | 31,69 | 9,77 | 30,55 | 21,91 | 2 | 1 | 2 |
| Streblosoma bairdi | 28,33 | 11,51 | 25,83 | 11,65 | 1 | 2 | 1 |
| Streblosoma intestinale | 34,30 | 9,81 | 32,06 | 13,04 | 1 | 1 | 2 |
| Strongylocentrotus droebachiensis | 28,49 | 8,50 | 35,51 | 21,47 | 1 | 2 | 2 |
| Stylatula elegans | 25,78 | 11,70 | 21,35 | 16,08 | 3 | 2 | 1 |
| Syllidae | | | 24,11 | 8,83 | | | |
| Syllides longocirratus | | | 34,53 | 21,06 | 2 | | |
| Syllidia armata | 28,32 | 9,67 | 24,82 | 11,12 | 2 | 2 | 2 |
| Syllis | | | 23,94 | 11,80 | 2 | | |
| Syllis armillaris | 36,88 | 5,15 | | | 2 | 1 | 3 |

| Takson_navn | ES100avg _2018 | ES100min5 _2018 | ES100avg _2012 | ES100min5 _2012 | AMBI EG | NSI "EG" | ISI "EG" |
|---|-------------------|--------------------|-------------------|--------------------|------------|-------------|-------------|
| Syllis cornuta | 24,13 | 2,63 | | | 2 | 3 | 4 |
| Syllis variegata | 23,32 | 7,82 | 20,16 | 7,48 | 2 | 3 | 2 |
| Synchelidium haplocheles | 25,10 | 7,19 | 28,50 | 16,23 | 1 | 3 | 2 |
| Syrrhoe crenulata | 37,75 | 18,30 | | | 2 | 1 | 1 |
| Tanaidacea | | | 28,61 | 11,55 | 2 | | |
| Tectibranchiata | | | 17,85 | 10,93 | | | |
| Tellimya ferruginosa | 27,99 | 7,24 | 25,70 | 8,25 | 2 | 2 | 2 |
| Tellimya tenella | 26,24 | 9,51 | 26,92 | 10,98 | 2 | 2 | 2 |
| Terebellidae | | | 30,21 | 11,10 | | | |
| Terebellides stroemii kompleks | 28,10 | 6,29 | 25,86 | 7,63 | 2 | 2 | 3 |
| Terebellinae | | | 30,28 | 11,27 | | | |
| Tharyx | 22,97 | 6,54 | 21,64 | 7,55 | 4 | 3 | 3 |
| Tharyx killariensis | 26,20 | 5,30 | 25,03 | 12,18 | 4 | 2 | 3 |
| Thelepus cincinnatus | 32,07 | 8,11 | 31,15 | 14,76 | 2 | 1 | 2 |
| Themisto abyssorum | | | 22,42 | 12,85 | 3 | | |
| Therochaeta flabellata | 34,70 | 12,70 | | | 1 | 1 | 1 |
| Thracia | 31,03 | | 26,97 | 12,56 | 1 | 1 | |
| Thracia convexa | 27,10 | 11,06 | 28,18 | 12,42 | 1 | 2 | 1 |
| Thracia myopsis | 30,53 | 16,03 | | | 1 | 1 | 1 |
| Thracia phaseolina | 33,74 | 12,85 | | | 1 | 1 | 1 |
| Thracia villosiuscula | 33,74 | 19,53 | 27,25 | 18,91 | 1 | 1 | 1 |
| Thyasira | | | 19,63 | 6,23 | 2 | | |
| Thyasira aff. dunbari | 22,83 | 9,61 | | | | 3 | 2 |
| Thyasira equalis | 23,00 | 3,50 | 19,82 | 6,87 | 3 | 3 | 3 |
| Thyasira flexuosa | 24,33 | 2,88 | 21,33 | 6,29 | 3 | 3 | 4 |
| Thyasira gouldi | 24,73 | 5,01 | 18,61 | 12,18 | 1 | 3 | 3 |
| Thyasira granulosa | 14,90 | 10,63 | 15,40 | 10,63 | 4 | 4 | 2 |
| Thyasira obsoleta | 31,65 | 7,79 | 29,40 | 11,58 | 1 | 1 | 2 |
| Thyasira sarsii | 19,43 | 1,66 | 14,18 | 4,14 | 3 | 4 | 5 |
| Thyone fusus | 37,96 | 18,25 | | | 1 | 1 | 1 |
| Thysanocardia procera | 30,80 | 15,44 | | | 1 | 1 | 1 |
| Timoclea ovata | 35,83 | 12,48 | 31,53 | 11,34 | 1 | 1 | 1 |
| Tiron spiniferus | 41,54 | 26,67 | | | 1 | 1 | 1 |
| Tmetonyx cicada | 35,04 | 16,74 | 36,22 | 15,53 | 1 | 1 | 1 |
| Tomopteris (Johnstonella) helgolandica | | | 23,60 | 14,92 | 2 | | |
| Trichobranchus glacialis | 32,61 | 10,55 | 30,37 | 16,88 | 2 | 1 | 2 |
| Trichobranchus roseus | 29,52 | 8,55 | 27,93 | 9,18 | 2 | 2 | 2 |
| Tritia pygmaea | | | 20,72 | 11,60 | 2 | | |
| Tritia reticulata | | | 18,53 | 9,29 | 2 | | |
| Trochochaeta multisetosa | 16,32 | 4,82 | 17,18 | 4,97 | 3 | 4 | 3 |
| Tropidomya abbreviata | 29,58 | 9,84 | 29,05 | 13,61 | 1 | 2 | 2 |

| Takson_navn | ES100avg _2018 | ES100min5 _2018 | ES100avg _2012 | ES100min5 _2012 | AMBI EG | NSI "EG" | ISI "EG" |
|-----------------------|-------------------|--------------------|-------------------|--------------------|------------|-------------|-------------|
| Tryphosites longipes | 26,70 | 3,91 | 28,90 | 9,21 | 1 | 2 | 3 |
| Tubificoides benedii | 9,82 | 2,83 | | | 5 | 4 | 4 |
| Turritella communis | 28,69 | 14,05 | 27,19 | 16,20 | 2 | 2 | 1 |
| Typosyllis cornuta | | | 20,85 | 5,86 | 2 | | |
| Ubestemt | | | 28,18 | 13,86 | | | |
| Unciola planipes | 38,23 | 19,77 | | | 1 | 1 | 1 |
| Urothoe elegans | 38,95 | 18,54 | | | 1 | 1 | 1 |
| Vargula norvegica | 33,10 | 14,73 | 30,59 | 17,45 | 2 | 1 | 1 |
| Vermiformis | | | 26,09 | 8,40 | | | |
| Virgularia mirabilis | 24,97 | 4,53 | 26,64 | 14,37 | 1 | 3 | 3 |
| Westwoodilla caecula | 29,71 | 3,17 | 28,00 | 10,09 | 2 | 1 | 3 |
| Xenodice frauendorfii | | | 39,51 | 26,30 | 1 | | |
| Yoldiella | | | 27,70 | 12,74 | 1 | | |
| Yoldiella frigida | 25,38 | 12,35 | 20,12 | 12,35 | 1 | 2 | 1 |
| Yoldiella lenticula | 21,54 | 9,32 | 20,88 | 11,96 | 1 | 3 | 2 |
| Yoldiella lucida | 27,61 | 7,15 | 25,58 | 12,08 | 1 | 2 | 2 |
| Yoldiella nana | 25,54 | 9,57 | 22,17 | 11,32 | 1 | 2 | 2 |
| Yoldiella philippiana | 31,67 | 9,14 | 30,74 | 12,45 | 1 | 1 | 2 |
| Yoldiella propinqua | 25,29 | 14,85 | | | | 2 | 1 |
| Yoldiella solidula | 25,76 | 10,51 | | | 1 | 2 | 2 |
| Zeppelinina monostyla | | | 14,57 | 9,82 | 4 | | |
| Zoealarve | | | 24,90 | 8,90 | | | |

NIVA: Norges ledende kompetansesenter på vannmiljø

NIVA gir offentlig vannforvaltning, næringsliv og allmennheten grunnlag for god vannforvaltning gjennom oppdragsbasert forsknings-, utrednings- og utviklingsarbeid. NIVA kjennetegnes ved stor faglig bredde og godt kontaktnett til fagmiljøer i inn- og utland. Faglig tyngde, tverrfaglig arbeidsform og en helhetlig tilnærningsmåte er vårt grunnlag for å være en god rådgiver for forvaltning og samfunnsliv.



Gaustadalléen 21 • 0349 Oslo
Telefon: 02348 • Faks: 22 18 52 00
www.niva.no • post@niva.no